

I

KVANTOVÁ  
MECHANIKA

**Matematicko-fyzikálna fakulta  
Univerzity Komenského Bratislava**



## **KVANTOVÁ MECHANIKA I**

**Radoslav Böhm**

<http://www.ddp.fmph.uniba.sk/bohm>

**Martin Klímo**

<http://www.ddp.fmph.uniba.sk/klimo>

verzia z 11. septembra 2000

# Obsah

## Úvod

iii

4.3 Lineárny harmonický oscilátor.	61
<b>5 Dodatok</b>	<b>63</b>
5.1 Lineárny harmonický oscilátor - LHO	63
5.1.1 a, LHO cez SCHR	63
5.2 Podbariérový prechod.	66

## 1 Popis častíc v kvantovej mechanike.

1.1 Vlnová funkcia	1
1.2 Heisenbergov princíp neurčitosti	2
1.3 Optika a kvantová mechanika	9
1.4 Bezčasová SchR a jej riešenia	12

## 2 Jednoduché sústavy

2.1 Potenciálne steny	15
2.1.1 Prípad $U < E$ :	16
2.1.2 Prípad $E < V$ :	16
2.2 Potenciálové valy	19
2.2.1 Nadbariérový prechod $E > U$	23
2.2.2 Podbariérový prechod $U > E$	23
2.2.3 Aplikácie podbariérového prechodu	26
2.3 Potenciálové jamy	29
2.3.1 Nekonečná jama	34
2.3.2 Jedenorozmerná polonekonečná jama.	36
2.3.3 Častica v potenciálnej jame konečnej hĺbky.	38
2.3.4 Nesymetrické konečné jamy-kvalitatívne.	41
2.3.5 Dve pravouhlé potenciálne jamy	42

## 3 Približná metóda riešenia SchR

3.1 Bohr-Sommerfeldova podmienka.	47
3.1.1 Aplikácie B-S podmienky	47
3.1.2 Harmonický oscilátor	50
3.1.3 Častica viazaná v krabici	50
3.1.4 Atóm vodíka	54
3.1.5 Atóm vodíka	54

## 4 Vlnový balík-prostriedok na zobrazenie trajektórie klasických častic

4.1 Volná častica	57
4.2 Pohyb častice v nekonečne hlbkej pravouhléj potenciálovej jame.	60

# Úvod

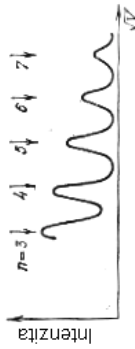
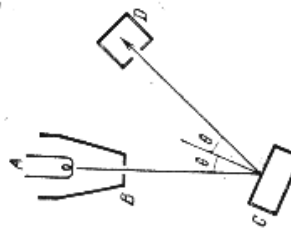
Klasická fyzika na začiatku XX storočia rozdellovala objekty, ktoré skúmala, na dva principiálne odlišné typy: časticie a vlny. Pod časticami sa predovšetkým rozumel telesá makrosvetla, ktoré sa správali podľa Newtonových zákonov mechaniky, dali sa v jednotlivých časových okamihoch lokalizovať a pohybovali sa po konkrétnych trajektóriach. Naproti tomu vlny boli „rozmazané“ v priestore, nedala sa im priradiť trajektória a ich charakteristickou vlastnosťou bola interferencia.

Koncom minulého storočia sa rozvojom experimentálnej fyziky začínajú hromadit' ľudiaje, narušujúce predstavy o ostrej hranici medzi časticami a vlnami (najmä v oblasti mikrosvetla). Prvým poznatkom, ktorý naznačil, že v mikrosvetle sa dejú z hľadiska klasickej fyziky pozoruhodné veci, bol neúspech pri hľadaní vysvetlenia experimentálnych údajov o spektri žiarenia čierneho telesa. Vysvetenie našiel v roku 1900 nemecký fyzik Max Planck, ktorý musel urobíť predpoklad cudzí klasickej fyzike, že atómy látky pri interakcii so svetelnými vlnami s frekvenciou  $\omega$  emitujú žiarenie nespojite, po malých kvantoch energie  $h\omega$ . Stále však zastával názor, že svetelná energia sa šíri priestorom spojite ako elektromagnetická vlna. V roku 1905 Einstein pomocou Planckovej hypotezy úspešne vysvetlil zákonnéitosť fotoelektrického javu. Zájde však ďalej a predpokladá, že svetlo sa nielen vyzaruje, ale aj sŕí po kvantoch, ktoré si možno predstaviť ako guličky s koncentrovanou energiou. Tento názor je v príkrom rozpose s vlnovou teóriou svetla, podľa ktorej je energia spojite „roztečená“ v priestore. Definitívne potvrdenie korpuskulárneho charakteru elektromagnetických vln primiesli v roku 1923 experimenty amerického fyzika Comptona.

Planckove a Einsteinove hypotezy, úspešnejšie pri interpretácii experimentálnych javov, sú v príkrom rozpose s predstavami klasických fyzikov o vlnovej povale svetla. Na druhej strane existuje bolatý a rôznorodý experimentálny materiál potvrdzujúci správnosť vlnovej teórie, ktorá bola overená množstvom optických javov (interferencia a difrakcia svetla). Svetlo prestáva byť bežným objektom klasickej fyziky (vlna, častica) a stáva sa objektom mikrosvetla s vlnovými aj časticovými vlastnosťami.

Optika od svojho vzniku nebrala do úvahy korpuskulárne vlastnosti svetla a zrazu boli dokázané. De Broglie v roku 1923 upozorňuje, že v časticovej teórii sa môžeme dopúšťať opačnej chyby, vyzdvihovaním časticovej povahy materiálnych objektov a nepriprístaním ich vlnových prejavov. Podľa jeho názoru dualizmus

vlna-častica nie je výsadou optických javov, ale základnou vlastnosťou všetkých objektov mikrosvetla. V roku 1924 de Broglie otočí Planckovu hypotézu a priradi časticiam s hybnosťou  $\tilde{p}$  vlny s vlnovou dĺžkou  $\lambda = \frac{\hbar}{\tilde{p}}$ . Vlnové vlastnosti boli nazaj o dva roky neskôr aj experimentálne potvrdené Davisonom a Germerom. Meriali smerovú závislosť intenzity rozptýleného zvážku elektrónov dopadajúcich na kryštáli Ni



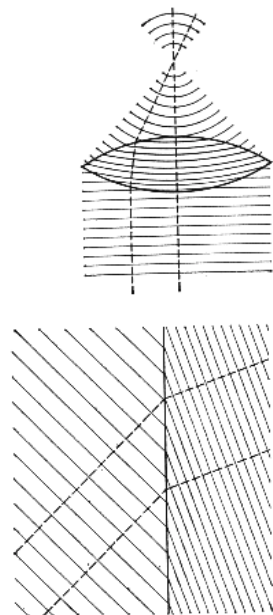
Zafixovaním uhla  $\vartheta$  pozorovali typický interferenčný obraz pozostávajúci z interenčných maxim a minim. Ich poloha závisela od energie dopadajúceho zvážku.

Podrobnejšou analýzou výsledkov sa priamo overila správnosť de Broglieho vzťahu. Elektróny sa s najväčšou pravdepodobnosťou vyskytovali v oblastiach s maximálnou intenzitou de Broglieho vln. Neskor sa zisťovali difrákčné obrazy neutrónov, protónov, atómových a molekulových zvážkov. Difrákčné vlastnosti častic sa v súčasnosti bežne používajú pri analýze kryštálov (podobne ako rtg. analýza).

Experimentálne skúsenosti XIX storočia sú neuprosné a nútia fyzikov využiť novú teóriu, ktorá by prirodzeným spôsobom zohľadnila časticové aj vlnové vlastnosti objektov mikrosvetla, protirečiac predstavám a zákonom klasickej fyziky. V roku 1926 a 1927 Schrödinger, Heisenberg a Born vypracujú základy takejto teórie s názvom kvantová mechanika. Kvantová mechanika popisuje správanie hmoty a javy na úrovni mikrosvetla, ktoré sú nepristupné násemu zmyslovému vnímaniu. S týmito javmi nemáme žiadne skúsenosti z každodenného života a preto mnohé z nich sa nám môžu zdáť veľmi podivné až neskutočné. Dokonca ani odborníci na kvantovú mechaniku jej nerozumiejú do takej miery, do akej by si to želali. Spomeňme aspoň dva citáty : "Anyone who is not shocked by

*quantum theory has not understood it*”, Niels Bohr, ”*I think I can safely say that nobody understands quantum mechanics*”, Richard P. Feynman). Kvantová mechanika má mnoho spoločných prvkov s optikou, ktorá nám pomôže vystopovať intuíciu a uľahčí predvídať nepredvídateľné.

Predstava objektu s vlastnosťami vln aj častic je na prvý pohľad nezvládnuteľná. V geometrickej optike nám to však nerobilo žiadne problém. Spomeňme si na klasické zobrazovacie úlohy:



Ide o len rovinnej vlny pri prechode optickým rozhraním a šosovkou. Plné čiary zobrazujú vlnoplochy, prerušované líče. Svetelné líče sú kolmé na vlnoplochy a reprezentujú trajektóriu častic svetla-fotónov. Takýmto spôsobom sú v geometrickej optike vzájomne zviazané vlny (vlnoplochy) s časticami (líče).

# Kapitola 1

## Popis častic v kvantovej mechanike.

### 1.1 Vlnová funkcia

Medzi fotónmi a ostatnými časticami mikrosveta neexistuje žiadny principiálny rozdiel. Všetky časticie majú okrem korpuskularých vlastností charakterizovaných hybnosťou  $\vec{p}$  a energiou  $E$  aj vlastnosťi vlnové, reprezentované vlnovou dĺžkou  $\lambda$  a uhlovou frekvenciou  $\omega$ . Nájdime transformačný vzťah medzi oboma charakteristikami  $(\vec{p}, E) \leftrightarrow (\lambda, \omega)$ . Pomôžeme si výrazmi platnými pre fotóny, ktoré zovšeobecníme pre všetky ostatné materiálne časticie. Vlnovú dĺžku svetla  $\lambda$  môžeme vyjadriť cez energiu fotónu  $\lambda = \frac{hc}{E}$  resp. jeho hybnosť  $\lambda = \frac{\hbar}{p}$ . Prvý vzťah sa nedá zovšeobecniť na materiálne časticie prinajmenšom z dvoch dôvodov: 1., obsahuje rýchlosť svetla  $c$ , čo je veličina špecifická pre elektromagnetické žiarenie; 2., obsahuje energiu  $E$ , ktorá je určená až na aditívnu konštantu, súvisiacu s volbou vztazného bodu. Za takýchto okolností by nebola  $\lambda$  jednoznačne určená. Uhlovú frekvenciu odvodíme priamo z Planckovej hypotézy  $\omega = \frac{E}{\hbar}$ .

Na základe týchto transformácií možno každej voľnej častice s energiou  $E$  a hybnosťou  $\vec{p}$  priradiť rovinu monochromatickej vlny  $\Psi(\vec{r}, t)$  s uhlovou frekvenčiou  $\omega = \frac{E}{\hbar}$  a vlnovou dĺžkou  $\lambda = \frac{\hbar}{p}$ .

$$\Psi(\vec{r}, t) = A \exp \left[ \frac{i}{\hbar} (E \cdot t - \vec{p} \cdot \vec{r}) \right] \quad (1.1)$$

V kvantovej fyzike sa nazýva de Broglieho vlna a správa sa rovnako ako elektromagnetická vlna v optike t.j. interferuje a difraktuje. Jej fyzikálny význam a vlastnosti pochopíme z nasledovného experimentu:

Na tienidle s dvomi štrbinami dopadá rovnobežný zväzok fotónov. Podľa Huygensonovho princípu sa štrbiat stávajú zdrojmi vln, ktoré interferujú. Interferenčný obraz sa registruje fotografickou platiňou a pozostával z množstva malých škvrn. Každé bodové sčernanie je výsledkom fotochemickej reakcie vytvárajúcej absorbciou práve jedného fotónu. Mohlo by sa zdáť, že vlnové vlastnosti sa

prejavia iba vtedy, keď v danom okamihu dopadá na štrbinu veľké množstvo častic a interferenčný obraz je vyššedkom ich vzájomnej interakcie. Experimentami s veľmi slabým zdrojom svetla bola však táto možnosť vylúčená. Interferenčný obraz sa formuje dokonca aj vtedy, ak intenzita svetla je taká malá, že v každom okamihu je v štrbinách nanajvýš jeden fotón. Pri malom počte fotónov sú na tienidku náhodne rozmiestnené čierne škvrnky a až po dopade väčšeho počtu sa vytvárajú charakteristické maximá a minimá

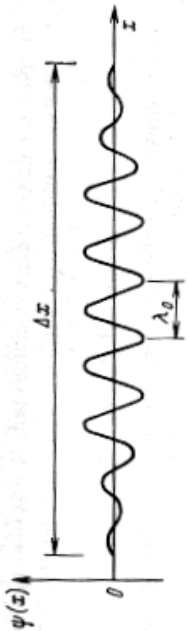


Schopnosť interferovať má teda každý jednotlivý fotón, čo zhŕnul lareát Nielsa Bohra, ktorý v roku 1927 písal: „...each photon interferes only with itself. Interference between different photons never occurs.“ V miestach, v ktorých podľa klasickej fyziky vzniká interferenčné maximum dopadne najviac fotónov a hustota sčernania je tam najväčšia. Každý fotón monochromatického zářenia má rovnakú energiu  $\hbar\omega$  a preto hustota fotónov v určitom mieste je úmerná hustote energie klasického vlnenia t.j. intenzite. Podobné experimenty boli vykonané aj s elektrónmi. Na fotografickej platiňi sa registroval interferenčný obraz pozostávajúci z malých škvrniek, ktoré sa zhodovali s miestom dopadu elektrónov. Interferenčný obraz elektrónov bol totozný s obrazom rovinnnej svetelnnej vlny s vlnovou dĺžkou  $\lambda = \frac{\hbar}{p}$  a bolo dokázane, že elektrón interferuje sám sebou. Medzi oboma experimentami existuje silná analógia, a je celkom prirodzené očakávať, že *intenzita de Broglieho vln v ľubovoľnom elemente priestoru  $dx dy dz$  a v čase  $t$ , je úmerná pravdepodobnosti výskytu častice*. Intenzita svetla a teda aj intenzita de Broglieho vln je úmerná kvadrátu amplitúdy, ktorý sa dá sa jednoducho vypočítať  $|\Psi|^2$ . Takáto interpretácia má štatistický charakter, umožňuje predvídať iba pravdepodobnosť výskytu častíc, ale nedokáže povedať nič konkrétné o jej skutočnej polohe. Vlnová funkcia popisuje v kvantovej mechanike stav systému.

### 1.2 Heisenbergov princíp neurčitosti

Roviná de Broglieho vlna (1.1) reprezentuje volnú časticu s presne definovanou hybnosťou  $p$ . Kvadrát amplitúdy je v celom priestore konštantný a podľa pravdepodobnosťnej interpretácie  $\psi$  sa častica nachádza všade s rovnakou pravdepodobnosťou. V realných fyzikálnych procesoch sú však časticie vždy lokalizované v priestore a preto sa harmonické de Broglieho vlny nehodia na ich

Napriek tomu majú v teórii veľký význam, podobne ako monochromatické vlny v optike. Podľa principu superpozicie z nich možno konštruovať vhnové balíky (funkcie), s hustotami pravdepodobnosti rôznymi od nuly v malej oblasti priestoru  $\Delta x$ . Každá takáto funkcia je neperiodická a preto jej nie vieme priradiť konkrétnu vlnovú dĺžku  $\lambda$ . Akú má teda časticu vlastné hybnosť? Pre jednoduchosť predpokladajme, že v oblasti  $\Delta x$  vlnová funkcia  $\psi$ , reprezentujúca jej stav, prechádza  $x$ -ovú os  $2n$ -krát. V oblasti je približne  $2n$  uzlových bodov,  $n$  períod a charakteristická vlnová dĺžka balíka  $\lambda = \frac{\Delta x}{n}$ .



Počet odhadnutých períod je zrejme zatažený chybou  $\Delta n = \pm \frac{1}{2}$  pretože vlna nemusí začínať alebo končiť v milovom bode. Ak  $n \gg \Delta n$ , relatívna chyba v určení vlnovej dĺžky  $\frac{\Delta \lambda}{\lambda}$  je malá a možno ju odhadnúť

$$\frac{\Delta \lambda}{\lambda} = \frac{\Delta n}{n} \approx \frac{1}{n} \quad (1.2)$$

Zdiferencovaním de Broglieho vzťahu:

$$\Delta p = \frac{h}{\lambda^2} \Delta \lambda = \frac{h}{\lambda} \frac{\Delta \lambda}{\lambda} \approx \frac{h}{n \lambda} = \frac{h}{\Delta x} \quad (1.3)$$

$$\Delta p \Delta x \approx h \quad (1.4)$$

Na skonštruuvanie vlnového balíka potrebujeme podľa (1.3) tým širšie spektrum hybností  $\Delta p$  harmonických de Broglieho vln, čím je vlnová funkcia viacej lokalizovaná. Uvedené úvahy mali kvalitatívny charakter a preto sa pokúsmo presnejšou analýzou najst' rozmery balíkov v  $x$  priestore (daný veličinou  $\Delta x$ ) a v  $p$  priestore (daný veličinou  $\Delta p$ ):

Majme časticu s jedným stupňom volnosti, ktorá sa nachádza v okolí začiatku súradnicovej sústavy. Meraním sme zistili, že jej stredná poloha  $\langle x \rangle = 0$  a stredná kvadratická odchýlka polohy je  $\sigma_x$ . Vlnová funkcia charakterizujúca jej stav, musí byť lokalizovaná v oblasti so šírkou  $\sigma_x$  s výrazným maximom v bode  $x = 0$  a jej tvar sa bude zrejme veľmi podobáť na Gaussovský zvon:<sup>1</sup>

$$\psi(x) = A \exp \left[ -\frac{x^2}{2\sigma_x^2} \right] \quad (1.5)$$

<sup>1</sup>Koeficient  $A$  určíme z normovacej podmienky  $\int_{-\infty}^{\infty} |\psi|^2 dx = 1 \Rightarrow A = \sqrt{\frac{\sigma_x}{\pi}}$

Vlnový balík  $\psi(x)$  vznikne superpozíciou roviných vln s presne definovanými hybnostami  $p$  a amplitúdami  $f(p)$

$$\psi(x) = \frac{1}{\sqrt{2\pi}} \int_{-\infty}^{\infty} f(p) e^{ipx} dp \quad (1.6)$$

Podľa Bohrovej interpretácie kvadrát amplitúdy  $|f(p)|^2 dp$  určuje pravdepodobnosť, s akou leží hybnosť časice v intervale  $p + dp$ . Z teórie Fourierových integrálov pre  $f(p)$  platí:

$$\begin{aligned} f(p) &= \frac{1}{\sqrt{2\pi}} \int_{-\infty}^{\infty} \psi(x) e^{-ipx} dx = \frac{1}{\sqrt{2\pi}} \int_{-\infty}^{\infty} A \exp \left[ -\frac{x^2}{2\sigma_x^2} \right] e^{-ipx} dx = \\ &= \frac{A}{\sigma_p \sqrt{2\pi}} \exp \left[ -\frac{p^2}{2\sigma_p^2} \right] \end{aligned} \quad (1.7)$$

Funkcia  $f(p)$  má Gaussovský tvar s kvadratickou odchýlkou

$$\sigma_p = \sqrt{\langle p^2 \rangle - \langle p \rangle^2} = \frac{\hbar}{2\sigma_x} \quad (1.8)$$

Hodnota  $\Delta x = \sigma_x$  určuje šírku vlnového balíka v premennej  $x$  a preto je mierou neurčitosti určenia polohy časice. Neurčitosť v hybnosti časice je  $\Delta p = \sigma_p$  a podľa (1.8) platí  $\Delta p \Delta x = \frac{\hbar}{2}$ . Vlnový balík sa dôsledkom disperzie zväčsuje (vid. kapitolu), takže vo všeobecnosti:

$$\Delta p \Delta x > \frac{\hbar}{2} \quad (1.9)$$

Vzťah (1.9) sformuloval v roku 1927 Werner Heisenberg a je platný pre vlnové balíky všetkých tvarov. Vyjadruje skutočnosť, že súčin neurčitosti polohy  $\Delta x$  a hybnosti  $\Delta p$  nemôže byť menší ako učítka hranica  $\frac{\hbar}{2}$ . V kvantovej mechanike má veľký význam<sup>2</sup>, spomeňme aspoň niektoré jeho dôsledky:

<sup>2</sup>Niekedy sa používa iný tvar principu neurčitosti. Mohli by sme napríklad chcieť merat energiu  $E$  vyziarenú pri atómových procesoch počas doby  $\Delta t$ . Omezená doba, ktorá je k dispozícii, ohraňuje prenosť, s ktorou môžeme merať knioteč vln. Predpokladajme, že najmenšia neurčitosť v počte vln, s ktorým počítame vo vlnovom klíku je jedna vlna a preto je neurčitosť v  $\Delta \nu$  meraného knioteču  $\Delta \nu = \frac{\hbar}{\Delta t}$ . Odpovedajúca neurčitosť energie je  $\Delta E = h \Delta \nu = \frac{\hbar}{\Delta t}$ . Je zrejmé, že  $\Delta E \Delta t \approx \hbar$ .

Obsah principu neurčitosti je iný ako v (1.9), ktorý popisuje súvislosť neurčitosti dvoch fyzikálnych veličín, hybnosti a súradnice v tom istom časovom okamihu. Energetická relácia neurčitosti má väčšiu inú význam: Zákon zachovania energie pláti v kvantovej mechanike s presnosťou najviac  $\frac{\hbar}{\Delta x}$ .

1. Neexistuje taký stav mikročasticie, v ktorom by bolo možné súčasne presne určiť polohu a hybnosť. Čím je menšia nepresnosť v zadaní jednej veľičiny ( $p, x$ ), tým je väčšia nepresnosť druhej ( $x, p$ ). Ak časticia má konkrétnu hybnosť  $\Delta p = 0$ , potom nie je lokalizovaná pretože  $\Delta x \rightarrow \infty$  a naopak.

2. V kvantovej mechanike trajektória alebo stav pokojia časticie nemajú žiadnen zmysel. Neexistuje taký stav systému, pri ktorom súčasne platí:  $\Delta x = \Delta p = 0$  (lebo  $\Delta x \Delta p > \frac{\hbar}{2}$ ). Aj pri absolutnej nule sa proto pozoruje „nulovú“ kinetickú energiu napr. vo forme malých kmitov, ktorá sa potvrdila v experimentoch. (James, Brindley a Wood v roku 1929).

Princíp neurčitosti je vlastne prirodzený matematickým dôsledkom vlnovej reprezentácie časticí. Patrí medzi najdôležitejšie myšlienky kvantovej mechaniky. Aby sme si vytvorili lepšie predstavu o spôsobe jeho fungovania, preriešime niekoľko ilustračných prípadov.

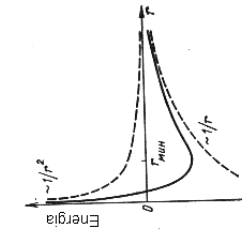
**Príklad 1** Určime minimálnu energiu a rozmer atómu vodíka.

**Riešenie:** Podľa klasickej elektrodynamiky musí elektrón, obiehajúci okolo jadra, strácať energiu vyžarovaním vo forme elektromagnetického žiarenia. Dôsledkom spomalenovania po uplynutí veľmi krátkeho času  $\sim 10^{-9}$  s splynie s protónom. Aparát klasickej fyziky nedokáže vysvetliť stabilitu atómov, ktoré sa odjakzívava považovali za najstabilnejšie útvary v prírode. Príčinou jeho zlyhania je skutočnosť, že pristupuje k prírodným javom výhradne prostredníctvom abstraktných pojmov „čistá“ časticia, „čistá“ vlna.

V kvantovej fyzike takýto stav nemôže existovať. Zritený elektrón by mal presne definovanú hybnosť a polohu  $p = 0, r = 0 \Rightarrow \Delta x = \Delta p = 0$ , čo je v rozpore s 2. dôsledkom principu neurčitosti. Atóm sa bude snažiť minimalizovať svoju celkovú energiu  $E$  danú súčtom kinetickej a potenciálnej energie:

$$E = E_k + E_p = \frac{p^2}{2m} - \frac{e^2}{4\pi\varepsilon_0 r} \quad (1.10)$$

kde  $p$  a  $m$  je hybnosť a hmotnosť elektrónu,  $r$  vzájomná vzdialenosť elektrónu a protónu. Potenciálnu energiu  $E_p$  možno minimalizovať koncentrovaním elektrónovej vlny k jadru ( $r \rightarrow 0, \Delta r \rightarrow 0 \Rightarrow E_p \rightarrow -\infty$ ). To má však za následok nežiaduce zvýšenie kinetickej energie, pretože podľa principu neurčitosti narastá hybnosť systému ( $\Delta p \sim \frac{1}{\Delta r}, p \rightarrow \infty \Rightarrow E_k \rightarrow \infty$ ).



$$\langle E \rangle_{\min} \approx \frac{\hbar^2}{2m} \left( \frac{me^2}{4\pi\varepsilon_0\hbar} \right)^2 - e^2 \frac{me^2}{(4\pi\varepsilon_0)^2 \hbar^2} = -\frac{me^4}{2\hbar (4\pi\varepsilon_0)^2} \approx -13,6 \text{ eV} \quad (1.16)$$

Vypočítané hodnoty súhlasia s experimentálnymi údajmi. Energia  $E_{\min}$  zodpovedá ionizačnej energii atómu vodíka a  $r_{\min}$  Bohrovmu polomeru. Prechod od kvantovej ku klasickej teórii možno formálne využadiť  $\hbar \rightarrow 0$ . Skutočne

$$\lim_{\hbar \rightarrow 0} E_{\min} \approx -\frac{me^4}{2\hbar (4\pi\varepsilon_0)^2} \rightarrow -\infty$$

čo zodpovedá „zrútenému“ elektrómu.

◇

$$\langle \Delta p \rangle^2 = \langle p^2 \rangle - \langle \vec{p} \rangle^2 = \langle p^2 \rangle \quad (1.11)$$

$$\langle \Delta r \rangle^2 = \langle r^2 \rangle - \langle \vec{r} \rangle^2 = \langle r^2 \rangle \quad (1.12)$$

ustredníme celkovú energiu využitím (1.9):  $\Delta p \geq \frac{\hbar}{\Delta r} = \frac{\hbar}{r}$ :

$$\begin{aligned} \langle E \rangle &= \frac{\langle p^2 \rangle}{2m} - \frac{e^2}{4\pi\varepsilon_0} \left\langle \frac{1}{r} \right\rangle = \frac{\langle \Delta p \rangle^2}{2m} - \frac{e^2}{4\pi\varepsilon_0} \left\langle \frac{1}{r} \right\rangle = \\ &= \frac{\hbar^2}{2mr^2} - \frac{e^2}{4\pi\varepsilon_0} \left\langle \frac{1}{r} \right\rangle \end{aligned}$$

Je zrejmé, že energia  $\langle E \rangle$  nadobne svoju minimálnu hodnotu v určitej vzdialnosti  $r_{\min}$  od jadra pre ktorú platí

$$\frac{d \langle E \rangle}{dr} = 0 \quad (1.13)$$

$$\begin{aligned} -\frac{\hbar^2}{mr_{\min}^3} + \frac{4\pi\varepsilon_0 r_{\min}^2}{e^2} &= 0 \\ r_{\min} &= \frac{4\pi\varepsilon_0 \hbar^2}{me^2} \approx 0,529 \text{ Å} \end{aligned} \quad (1.14) \quad (1.15)$$

**Príklad 2** Určme minimálnu energiu harmonického oscilátora.

**Riešenie:** Úvahy sú podobné ako v predchádzajúcom prípade. Celková energia oscilátora je daná súčtom potenciálnej a kinetickej energie

$$E = E_k + E_p = \frac{p^2}{2m} + \frac{kx^2}{2}$$

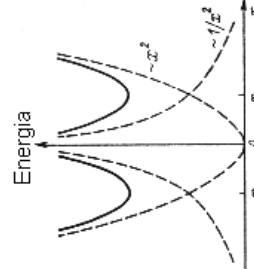
Klasický oscilátor získava minimálnu energiu  $E = 0$  pri nulových hodnotách  $p$  a  $x$ , čo je v rozpoore s princípom neurčitosti. Urobme kvantovomechanickú analýzu. Zo symetrie vyplýva  $\langle \Delta x \rangle^2 = \langle x^2 \rangle$  a  $\langle \Delta p \rangle^2 = \langle p^2 \rangle$ . Stredná hodnota systému :

$$\langle E \rangle = \frac{\langle p^2 \rangle}{2m} + \frac{k \langle x^2 \rangle}{2} \quad (1.17)$$

Podľa vzťahu neurčitosti očakávame  $\Delta x \Delta p \geq \frac{\hbar}{2}$  dosadením do

$$\langle E \rangle \geq \frac{1}{2m} \left( \frac{\hbar}{2\Delta x} \right)^2 + \frac{1}{2} k (\Delta x)^2 = \frac{\hbar^2}{8mx^2} + \frac{kx^2}{2} \quad (1.18)$$

Znázornime si závislosť energie oscilátora od polohy



Pre minimálnu energiu v bode  $|x| = x_{\min}$  platí  $\frac{d\langle E \rangle}{dx} = 0$ , t.j.

$$-\frac{\hbar^2}{4mx^3} + kx = 0$$

odkiaľ

$$x_{\min} = \sqrt[4]{\frac{\hbar^2}{4km}}$$

a príslušná energia  $E_{\min} = \frac{1}{2}\hbar\omega$ . Rovnakú hodnotu dostaneme riešením SchR, ktoré uvažujeme v dôsledku. Najnižšia energia klasického oscilátora zošlovedla stavu absolútneho pokoa t.j.  $x = p = 0$ . Takýto stav je neprípustný, pretože

$\Delta x \Delta p < \frac{\hbar}{2}$  a existencia „nulovej energie“ je čisto kvantovým efektom. Overme princíp korespondencie a vykonajme limitu  $\hbar \rightarrow 0$ :

$$\lim_{\hbar \rightarrow 0} x_{\min} = \lim_{\hbar \rightarrow 0} \sqrt[4]{\frac{\hbar^2}{4km}} \rightarrow 0 \quad (1.19)$$

$$\lim_{\hbar \rightarrow 0} E_{\min} = \lim_{\hbar \rightarrow 0} \frac{1}{2} \hbar\omega \rightarrow 0 \quad (1.20)$$

Výsledky (1.19),(1.20) zošlovedajú klasickému oscilátoru.  $\diamond$

**Príklad 3** Určme minimálnu energiu čästice viazanej na úsečku.

**Riešenie:** Celková stredná energia:

$$\langle E \rangle = \langle T \rangle + \langle U \rangle = \langle T \rangle = \frac{\langle p^2 \rangle}{2m} \quad (1.21)$$

Čästica je lokalizovaná v oblasti  $\langle \Delta x \rangle = L$ . Podľa princípu neurčitosti  $\langle \Delta p \rangle = \frac{\hbar}{2L}$ . Zo symetrie úlohy zase vyplýva:  $\langle p^2 \rangle = \langle \Delta p \rangle^2$

$$\langle E \rangle_{\min} = \frac{\langle p^2 \rangle}{2m} = \frac{(\Delta p)^2}{2m} = \frac{1}{2m} \left( \frac{\hbar}{2L} \right)^2 = \frac{\hbar^2}{8mL^2} \quad (1.22)$$

Elektrón má v základnom stave vždy nemulovú energiu, bez ohľadu na pôvod „väzniacich“ súčiastiek. Tie môžu byť dané tuhostou stien krabice alebo interakciou elektrónov s inými čästicami. Väzbová energia je dôsledok viazanosti elektrónu na danú oblasť. Na docenenie výsledku, urobme aj kvalitatívnu analýzu. Elektrón s hmotnosťou  $m \approx 10^{-27}$  g je uväznený v atóme  $\Delta x \approx 10^{-10}$  m. Podľa vzťahu (1.22)  $\langle E \rangle_{\min} \approx 10^{-27} \text{ eV}$ , čo je už rádovo porovnatelné s ionizačnou energiou vodíka 13,6 eV. Na druhej strane minimálna energia pre makroskopickú čästicu s hmotnosťou  $m \approx 100$  g, ktorá sa odráža medzi stenami vzdialenosťmi  $a \approx 10$  cm, je zanedbatelná ( $\langle E \rangle_{\min} \approx 10^{-65} J$ ) a nemerateľná.  $\diamond$

**Príklad 4** Pomocou princípu neurčitosti odhadnite potenciálnu energiu jadrových súčiastiek.

**Riešenie:** Predpokladajme, že nukleón je lokalizovaný vo vnútri jadra  $\Delta r \approx r_0 = 1,2 \cdot 10^{-13}$  cm. Jeho hybnosť (z princípu neurčitosti) je rádovo  $p \approx \frac{\hbar}{r_0}$  a zošlovedajúca kinetická energia  $T \approx \frac{1}{2m} \left( \frac{\hbar}{r_0} \right)^2 \approx 10 \text{ MeV}$ . Nukleón je viazaný

v jadre, nemá dosťatočnú energiu na prekonanie jadrových sôl a preto jeho celková energia musí byť záporná. Stredná hodnota potenciálnej energie je preto väčšia ako kinetická:

$$-\langle U \rangle \geq T \approx \frac{1}{2m} \left( \frac{\hbar}{r_0} \right)^2 \approx 10 \text{ MeV} \quad (1.23)$$

Uvedený odhad je veľmi hrubý, napriek tomu umožňuje vytvoriť predstavu o potenciále jadrových sôl. Ďalším dôsledkom (1.9) je neexistencia elektrónov v jadre. Ich hmotnosť je asi 2000 krát menšia a stredná potenciálna energia podľa (1.23) asi 2000 krát väčšia v porovnaní s nukleónom. Elektrón by bol v jadre viazaný oveľa silnejšie ako nukleón, čo nesúhlasí s experimentom. Experimentálne údaje potvrdzujú, že elektróny interagujú s jadrom len slabo a dominantný príspevok je elektromagnetická interakcia.  $\diamond$

**1.1.** Poloha ťažiska gule s hmotnosťou  $m = 1 \text{ g}$  a poloha elektrónu je určená s chybou  $\Delta x = 10^{-5} \text{ cm}$ . Určte neurčitosť v určení jej rýchlosťi.

**1.2.** Určte na akú kinetickú energiu treba urýchliť elektrón (protón), aby sme mohli sledovať štruktúry s rozmermi  $\sim 1 \text{ fm}$

**1.3.\*** Najjednoduchší spôsob, ako zmerať jednu zo súradníck elektrónu, je preplustiť ho cez tenidlo s jednou štrbinou o šírke  $d$ . Ukažte, že neurčitosť jeho hybnosti zodpovedá princípu neurčitosti.

**1.4.\*** Atóm vodíka sa nachádza v základnom stave. Ukažte, že pri pokuse merat trajektoriu elektrónu nevyhnutne narušíme stav atómu.

**1.5.\*** Predpokladajme, že častica sa v čase  $t = 0$  nachádza s rovnakou pravdepodobnosťou v oblasti  $x \in \langle -a, a \rangle$ . Dokážte, že neurčitosť v hybnosti zodpovedá princípu neurčitosti.

### 1.3 Optika a kvantová mechanika.

Z Maxwellových rovnic, ktoré popisovali šírenie svetelných vln v neabsorbiúcom prostredí sme pre vektor intenzity elektrického poľa  $E$  odvodili vlnovú rovnici:

$$\Delta E_x - \frac{1}{v^2} \frac{\partial^2 E_x}{\partial t^2} = 0 \quad (1.24)$$

Z optiky a nakoniec aj mechaniky vieme, že všeobecné rišenie tejto rovnice je dané suporpozíciou tzv. módov. Môdmi sú stojaté vlny, ktorých amplitúda ako

aj fázové konštanty sa určujú z počiatocných podmienok. Dosadením všeobecného výrazu pre stojaté vlny  $E_x = A(x) e^{i\omega t}$ , získame parcíalnu pre amplitúdy  $A(x)$  nasledovnú diferenciálnu rovnicu :

$$\Delta A + \frac{\omega^2}{v^2} A = 0 \quad (1.25)$$

Každá častica sa chová ako vlna, ktorej možno priradiť de Broglieho vlnovú dĺžku  $\lambda$  a charakterizovať ju vlnovou funkciou  $\Psi$ . Je prirodzené očakávať, že po vhodnej transformácii (1.25) získame rovnici popisujúcu stav častic. Nahradme intenzitu  $E_x = A(x) e^{i\omega t}$  rovnicu popisujúcu stav častic. Nahradme

$$\Psi = \psi e^{i\omega t} = \psi e^{i\frac{E}{\hbar}t} \quad (1.26)$$

a upravme de Broglieho vzťah:

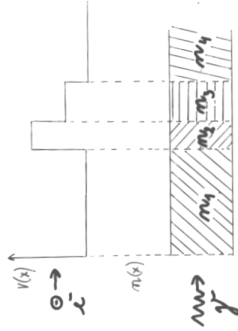
$$\begin{aligned} \lambda &= \frac{\hbar}{p} \\ \frac{2\pi}{\omega} &= \frac{\hbar}{\sqrt{2m(E-V)}} \\ \frac{v}{\omega} &= \frac{\hbar}{\sqrt{2m(E-V)}} \end{aligned}$$

Po dosadení do (1.25) a príslušných transformáciach :

$$\begin{aligned} \Delta \psi + \frac{2m(E-V)}{\hbar^2} \psi &= 0 \quad (1.27) \\ \text{dostávame základný polohový zákon kvantovej mechaniky tzv. SchR, ktoré sa} \\ \text{budeme podrobnejšie venovať v nasledovnej kapitole.} \\ \text{Častica pohybujúca sa v silovom poli s meniacim sa potenciáлом } U(x) \text{ sa teda} \\ \text{chová rovnako ako svetelná vlna, prechádzajúca optickým prostredím s indexom} \\ \text{lomu} \end{aligned}$$

$$n^2 = \frac{c^2}{v^2} = \frac{2m}{\hbar^2} [E - U] \frac{c^2}{\omega^2} \quad (1.28)$$

Pri kvalitatívnych analýzach možno vždy nahradiť túluhu o pohybe častíc, úlohou o fotónoch, s ktorými máme väčšie skúsenosti.



V prípade absorbujúceho prostredia je index lomu  $n$  komplexný, jeho reálna zložka súvisí s fázovou rýchlosťou vlny a imaginárna s jej absorbciou. Pri totálnom odraze (odraz na povrchu kovu) je kvadrát  $n^2$  rýdzou imaginárny. Medzi optikou a kvantovou mechanikou existuje silná analógia, ktoré sa prejavuje na viacerých úrovniach:

Vlnové vlastnosti svetla sa zretelne prejavujú pri ohýboch na prekážkach, ktorých rozmer sú porovnateľné s vlnovou dĺžkou sveta. V opačnom prípade možno s väčšou alebo menšou presnosťou použiť metódy geometrickej optiky, vybudovanéj na predpoklade, že  $\lambda = 0$ . Ostrá hranica medzi vlnovou a geometrickou optikou samozrejme neexistuje. Vzďialovaním od podmienky  $\lambda \rightarrow 0$  sa geometrická optika stáva horším priblížením ku skutočnosti. Vlnová optika je všeobecnejšia a geometrická je jej limitou.

Klasická Newtonova mechanika zodpovedá geometrickej optike a predstavuje limitný prípad všeobecnejšej kvantovej mechaniky, ktorá berie do úvahy vlnové vlastnosti častic  $\lambda$ . Ak však  $\lambda \ll L$ , kde  $L$  je charakteristický rozmer systému, klasická fyzika sa stáva dobrým priblížením pre opis stavov sústavy. Je prirodzene očakávať, že pri zmenšovaní vlnovej dĺžky  $\lambda \rightarrow 0$  kvantová fyzika bude dávať rovnaké výsledky ako klasická. Táto požiadavka sa nazýva *princípom korešpondencie*. Dá sa formálne vyjadriť klasickou limitou  $\lim_{\hbar \rightarrow 0} \lambda = \lim_{\hbar \rightarrow 0} \frac{\hbar}{p} \rightarrow 0$ . Možno nás už viačkrát napadla myšlienka, prečo klasická fyzika, dobre popisuje makroobjekty. Pre ilustráciu vypočítajme de Broglieho vlnu futbalovej lopty, s hmotnosťou  $m = 0,2\text{ kg}$ , ktorú sme vystrelili do bránky s rýchlosťou  $v = 15\text{ ms}^{-1}$ :

$$\lambda = \frac{\hbar}{mv} = 2,2 \cdot 10^{-34}\text{ m}$$

Vzhľadom na ostrú nerovnosť  $\lambda \ll L$  ( $L$  - veľkosť bránky) je klasický popis loptí úplne postačujúci. Lopta v bráne ani nedifrakuje, ani neinterieruje. V mikrosvete je však situácia iná. Hmotnosť častic  $m \approx 10^{-27}\text{ kg}$  a charakteristické rozmer sústav  $L \sim 10^{-15}\text{ m}$  sú oveľa menšie ako v makrosvete. Rovnosť  $\lambda \approx L$  je sphnená s veľkou pravdepodobnosťou, čo má za následok kvantovo-mechanické prejavy.

Časticu napr. elektrón sa podľa našej analógie chová ako fotón a preto ich možno používať na zobrazovanie v elektrónových mikroskopoch. Elektróny sú úrýchlované potenciáлом  $10^5\text{ V}$ , čomu zodpovedá vlnová dĺžka  $\lambda \approx 0,004\text{ nm}$ . Takéto zariadenia majú oveľa lepšiu rozlišovaciu schopnosť v porovnaní s optickými.

- [1.6.]** Jadrový fyzik má k dispozícii zdroj neutrónov a fotónov s energiou  $100\text{ eV}$ . Sú tieto zdroje vhodné na skúmanie kryštalografických rovín?
- [1.7.\*]** De Broglieho hypotézu o vlnových vlastnostiach častic ako prví potvrdili

Davisson a Germer. v roku 1927. Na vzorku monokryštálu z niklu dopadali kolmo elektróny, urýchlené napäťom  $U = 54\text{ V}$ . Detektorm zaregistrovali os-tre maximá v rozdeleň elektrónov pod úhlom  $50$  stupňov od smeru pôvodného zväzku. Difrakciu rtg. žiarenia na tej istej vzorke v tom istom experimentálnom usporiadani zistili, že medziatónomá vzdielenosť kryštalografických rovín je  $a = 0,091\text{ nm}$ . Určte vlnovú dĺžku zistenú experimentálne a porovajte ju s hodnotou vypočítanou z de Broglieho vzťahu.

## 1.4 Bezčasová Schrödingerova riešenia

Stav častic v kvantovej mechanike je charakterizovaný vlnovou funkciou  $1.26$ , ktorej amplitúdu  $\psi$  môžeme vypočítať zo SCHR.

Ak existuje viacero rôznych riešení, odlišujeme ich od seba indexami  $n$ . Hustoty pravdepodobnosti ani stredné hodnoty veličín nezávisia od času:

$$\Psi_n(x, t) \Psi_n^*(x, t) = \psi(x) e^{-\frac{i}{\hbar} Et} \psi^*(x) e^{\frac{i}{\hbar} Et} = \psi_n(x) \psi_n^*(x)$$

a preto takéto stavy nazývame stacionárne. Všeobecné riešenie Schrödingerovo (1.27) je podľa principu superpozície dané lineárnom kombináciou jej módov, ktorými sú stacionárne stavy:

$$\Psi(x, t) = \sum_{n=1}^{\infty} a_n \psi_n(x) e^{-\frac{i}{\hbar} E_n t} \quad (1.29)$$

Počiatočná podmienka predpísaná v čase  $t = 0$  určuje vahovacie koeficienty  $a_n$  a zastúpenie jednotlivých stacionárnych stavov :

$$\Psi(x, 0) = \sum_{n=1}^{\infty} a_n \psi_n(x) \quad (1.30)$$

Algoritmus pre určenie stavu časticie môžeme zhŕnúť do troch krokov:

- 1., určenie stacionárneho riešenia SCHR  $\psi_n(x)$
- 2., z počiatočnej podmienky najdeme koeficienty  $a_n$ , aby platilo  $\Psi(x, 0) = \sum_{n=1}^{\infty} a_n \psi_n(x)$ . Vlnové funkcie spravidla splňajú vzťah

$$\int \psi_n(x) \psi_m^*(x) dx = \delta_{nm} \quad (1.31)$$

nazývaný podmienkou ortornormality, kde  $\delta_{nm}$  je tzv. Kroneckerov operátor:

$$\delta_{nm} = \begin{cases} 0 & n \neq m \\ 1 & n = m \end{cases} \quad (1.32)$$

Vynásobením (1.30) funkcion  $\psi_n^*(x)$ , preintegrovaním a využitím podmienky ortonormality (1.32) pre  $a_n$  platí :

$$a_n = \int \Psi(x, 0) \psi_n^*(x) dx \quad (1.33)$$

<sup>3</sup>, Kazdý člen lineárnej kombinácie vynásobíme časovým faktorom faktor  $e^{-\frac{i}{\hbar} E_n t}$  a jednotlivé zložky nasurperponujeme

$$\Psi(x, t) = \sum_{n=1}^{\infty} a_n \psi_n(x) e^{-\frac{i}{\hbar} E_n t} \quad (1.34)$$

Bezčasová SchR má veľa niesení, z ktorých mnohé sú z fyzikálneho hľadiska neakceptovateľné. Pretože kvadrát modulu vlastnej funkcie  $\psi(x)\psi^*(x)$  reprezentuje hustotu pravdepodobnosti výskytu časice  $w(x)$ , očakávame, že  $\psi(x)$  je spojiteľná a normovateľná. Podľa vety o strednej hodnote pre každú funkciu so spojítými deriváciami medzi bodmi  $b_1$  a  $b_2$ , existuje taký bod  $c < b_1, b_2 >$  pre ktorý platí :

$$f(b_2) - f(b_1) = f'(c)(b_2 - b_1) \quad (1.35)$$

Nech  $f(x) = \frac{d}{dx}\psi(x)$  potom :

$$\frac{d}{dx}\psi(b_2) - \frac{d}{dx}\psi(b_1) = \frac{d^2}{dx^2}\psi(x) \Big|_{x=c} = \frac{2m}{\hbar^2}(U(c) - E)\psi(c)(b_2 - b_1) \quad (1.36)$$

Zužijme postupne interval  $< b_1, b_2 >$  okolo bodu  $c$  tak, aby  $b_1 \rightarrow c^-$  a  $b_2 \rightarrow c^+$ . Ak je potenciálna funkcia ohrazená, potom pravá strana rovnice (1.36) je identicky rovná nule  $(b_2 - b_1) \rightarrow 0$  a derivácia  $\psi$  v bode  $c$  je spojité  $\frac{d}{dx}\psi(b_2) = \frac{d}{dx}\psi(b_1)$ . *Ohraničenosť potenciálnej energie  $U$  (nie je potrebná jej spojitosť) v danom bode zabezpečuje spojitosť prvých derivácií  $\psi$ .*

## Kapitola 2

### Jednoduché sústavy

Potenciálna energia systému môže mať vo všeobecnosti veľmi komplikovaný tvar. Na nájdenie úplného rišenia Schrödinger zatiaľ neexistuje všeobecná metóda. Ide však o čisto matematický problém, ktorého zložitosť závisí od tvaru potenciálnej energie  $U$ . Najjednoduchšie riešenia existujú pre systémy, ktorých potenciálna energia má rôzne konštantné hodnoty v jednotlivých oblastiach priestoru, pričom na rozhraniach oddelujúcich tieto oblasti sa mení skokom

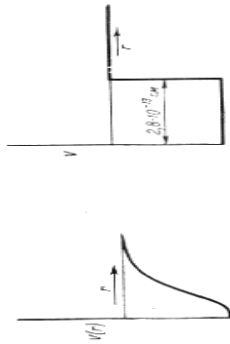


Ide o tzv. pravouhlé potenciálové steny a bariéry. Úlohy tohto typu sú akademického charakteru. V miestach skokov potenciálu, by musela na systém pôsobiť nekonečne veľké sily, čo je nereálne:

$$F = -\frac{dU}{dx} = \lim_{x_2 \rightarrow x_1} -\frac{U(x_2) - U(x_1)}{x_2 - x_1} \rightarrow \infty \quad (2.1)$$

Napriek tomu majú z teoretického hľadiska veľký význam, pretože sú aproximáciou zložitejších tiloh. Ich jednoduchá matematická reprezentácia umožňuje získať informácie o reálnych javoch, ktoré súmnujú. Uvedme niekoľko príkladov:

Vzájomná potenciálna energia medzi protónom a neutrónom má nasledovný tvar:



Pri prechode počiatkom súradnicovej sústavy v bode  $x = 0$  začne pôsobiť „spomalovacia“ sila  $F(x) = -\frac{dU}{dx}$ , ktorá zmíňejjej rýchlosť na hodnotu:

$$v_1 = \sqrt{\frac{2E}{m}}$$

Všetky časticie majú dostatočnú energiu na prekonanie potenciálového skoku a žiadna z nich sa nedráži späť. Koeficient odraznosti je  $R = 0$  a príepustnosť  $T = 1$ .

Medzi časticami pôsobia krátkodosahové sily, ktoré sa uplatňujú pri vzniku atomových jadier. Majú príťažlivý charakter, sú najväčšie aké v prírode poznáme ( $U \approx 20 \text{ MeV}$ ) a ich dosah sa rádovo rovná rozmerom atómových jadier ( $10^{-13} \text{ cm}$ ). V istom priblžení môžno ich potenciál nahradíť jamiou. Pomocou tohto modelu dokážeme vysvetliť realné javy napr. neexistenciu pp a nn jadier, existenciu deutéria, diskrétnych hodnôt väzbovej energie nukleónov či magických čísel. Rovnakým spôsobom možno approximovať vzájomnú potenciálnu energiu dvoch molekú vo vzdialosti  $r$ . Aj v tomto prípade vlastnosti vhnových funkcií ako aj ich energetických hladiín poskytujú reálnu predstavu o pôvodnej sústave molekúl. Pravouhlé bariéry zohrávajú zase významnú úlohu pri interpretácii alfa rozpadu, studenej emisie a iných fyzikálnych procesov. V nasledovných kapitolách budeme analyzovať jednotlivé prípady.

## 2.1 Potenciálne steny

V jednoroznernom prípade sa častica s celkovou energiou  $E$  môže pohybovať v oboch smeroch osi  $x$ . Priebeh potenciálnej energie approximujme skokovitou funkciou:

$$U = \begin{cases} x < 0 & U = 0 \\ x > 0 & U = V \end{cases} \quad (2.2)$$

Vyšetrujme dva prípady  $U < E$  a  $U \geq E$

### 2.1.1 Prípad $U < E$ :

Z hľadiska *klasickej fyziky* je prípad jasny. Častica dopadá na stenu sprava, s kinetickou energiou

$$T = E - \frac{1}{2}mv_1^2$$

a rýchlosťou

$$v_1 = \sqrt{\frac{2E}{m}}$$

Pri prechode počiatkom súradnicovej sústavy v bode  $x = 0$  začne pôsobiť „spomalovacia“ sila  $F(x) = -\frac{dU}{dx}$ , ktorá zmíňejjej rýchlosť na hodnotu:

Analyzujme úlohu z hľadiska *kvantovej mechaniky*. Podľa optického modelu sa elektrón chová ako svetelná vlna, prechádzajúca dvoma optickými prostrediami s indexami lomov

$$n_1^2 = \frac{2m}{\hbar^2} [E] \frac{c^2}{\omega^2}$$

$n_1 > n_2$ . Na optickom rozhraní (v bode  $x = 0$ ) nastáva častočný odraz svetla. Časť svetelnej vlny vstupuje do prostredia II., druhá časť sa odraža. Pretože druhé prostredie je opticky redšie, zmíň sa rýchlosť šírenia svetelnej vlny. Na základe tejto analógie očakávame v priestore I. existenciu dvoch de Broglieho vln: dopadajúcej a odrazenej, v oblasti II iba vlnu prechádzajúcu. Potenciálna stena teda preпустí niektoré časticie ateda  $R \neq 0$ .

Po kvalitatívnej analýze pristúpime aj ku kvantitatívnemu riešeniu Schrödingerovej, či naša intuícia bola správna. V oblasti I má Schrödinger tvar

$$\frac{d^2\psi(x)}{dx^2} + \frac{2m}{\hbar^2} E\psi(x) = 0 \quad (2.3)$$

a riešenie

$$\psi_1 = Ae^{ik_1x} + Be^{-ik_1x} \quad (2.4)$$

Vpravo od osi, teda v oblasti II., je

$$\frac{d^2\psi(x)}{dx^2} + \frac{2m}{\hbar^2} [E - U(x)]\psi(x) = 0 \quad (2.5)$$

a jej riešenie

$$\psi_2 = Ce^{ik_2x} + De^{-ik_2x} \quad (2.6)$$

kde

$$k_1^2 = \frac{2m}{\hbar^2} U \quad k_2^2 = \frac{2m}{\hbar^2} [E - U] \quad (2.7)$$

Kompletnú vlnovú funkciu dostaneme po prenásobení  $\psi$  časovým faktorom  $e^{-iEt/\hbar}$ .

Podiel intenzity odrazenej a dopadajúcej de Broglieho vlny udáva podobne ako v optike koeficient odraznosti :

$$R = \frac{\psi_{IB}^* \psi_{IB}}{\psi_{IA}^* \psi_{IA}} = \left( \frac{k_1 - k_2}{k_1 + k_2} \right)^2 \quad (2.13)$$

Zo zákona zachovania počtu častic dalej platí :

$$T = 1 - R = \frac{4k_1 k_2}{(k_1 + k_2)} \quad (2.14)$$

De Broglieho vlna  $Ae^{ik_1x} e^{-iEt/\hbar}$  reprezentuje časticie dopadajúce na bariéru zľava a  $Be^{-ik_1x} e^{-iEt/\hbar}$  odrazené časticie od bariéry. Vlnová funkcia  $Ce^{ik_2x} e^{-iEt/\hbar}$  opisuje časticie, ktoré prešli cez bariéru a  $De^{-ik_2x} e^{-iEt/\hbar}$  časticie, ktoré dopadali na bariéru zľava. V našom prípade je  $D = 0$ , lebo časticie na bariéru sprava nedopadajú.

$$\psi_2 = Ce^{ik_2x} \quad (2.8)$$

Riešenia získané pre tieto oblasti musíme „zosítiť“ a tak zabezpečiť spojitosť a jednoznačnosť výslednej vlnovej funkcie:

$$\psi_1(0) = \psi_2(0) \Rightarrow A + B = C \quad (2.9)$$

Navyše v bodoch nespojitosťi s konečným skokom potenciálu je spojítaj aj prvá derivácia:

$$\left( \frac{d\psi_I}{dx} \right)_{x=0} = \left( \frac{d\psi_{II}}{dx} \right)_{x=0} \Rightarrow k_1(A - B) = k_2C \quad (2.10)$$

Úpravou rovníc (2.9,2.10) vypočítame neznáme amplitúdy  $A, B, C$ , ktoré suvia sia s počtom častic:

$$B = \frac{k_1 - k_2}{k_1 + k_2} A \quad C = \frac{2k_1}{k_1 + k_2} \quad (2.11)$$

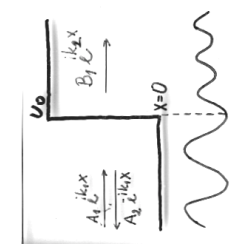
Hustota pravdepodobnosti časticie pohybujúcich sa na bariéru zľava je podľa Bohrovej interpretácie vlnovej funkcie:

$$\psi_{IA}\psi_{IA}^* = (Ae^{ik_1x})^* Ae^{ik_1x} = A^2 \quad (2.11)$$

Hustota pravdepodobnosti časticie pohybujúcich sa dolava po odraze na bariére bude:

$$\begin{aligned} \psi_{IB}\psi_{IB}^* &= (Be^{ik_1x})^* Be^{ik_1x} = \left( \frac{k_1 - k_2}{k_1 + k_2} Ae^{-ik_1x} \right)^* \frac{k_1 - k_2}{k_1 + k_2} Ae^{-ik_1x} \\ &= A^2 \left( \frac{k_1 - k_2}{k_1 + k_2} \right)^2 \end{aligned} \quad (2.12)$$

Podiel intenzity odrazenej a dopadajúcej de Broglieho vlny udáva podobne ako v optike koeficient odraznosti :



Koeficient odraznosti a prieplustnosti častic sú identické s koeficientom  $R$  a  $T$  získanými z Fresnelových vzťahov pri kolmom dopade svetelných vln na optické rozhranie.

Možno ste si všimli, že koeficient prieplustnosti  $T$  väčšinou počítame zo zákona zachovania počtu častic t.j. z rovnice  $T = 1 - R$ . Ak ho však vypočítame ako pomer medzi hustotami pravdepodobnosti prechádzajúcich a dopadajúcich častic

$$T \neq \frac{\psi_{IC}^* \psi_{IC}}{\psi_{IA}^* \psi_{IA}} = \frac{C^2}{A^2} = \frac{2k_1}{k_1 - k_2} \quad (2.15)$$

dosiadneme iný výsledok. Ako je to možné? Ktorý postup je správny? Zdanlivý spor vznikol dôsledkom nepochopenia koeficientu  $T$ . Prieplustnosť častic musí byť definovaná ako pomer medzi hustotami toku  $j$  prechádzajúcich a dopadajúcich častic. Lihovoľnou plochou  $dS$  za čas  $dt$  prejde toľko častic, kolko sa ich nachádza v objeme  $dV$ :

$$\begin{aligned} \psi \psi^* dV &= \psi \psi^* S v dt \Rightarrow j = \frac{dN}{dSdT} = \psi \psi^* v \\ T &= \frac{\psi_{IC}^* \psi_{IC} v_C}{\psi_{IA}^* \psi_{IA} v_A} = \frac{\psi_{IC}^* \psi_{IC} v_C k_2}{\psi_{IA}^* \psi_{IA} v_A k_1} = \frac{4k_1 k_2}{(k_1 + k_2)} \end{aligned} \quad (2.16)$$

čo vedie k rovnakému výsledku ako (2.14). Všimnime si, že ak rýchlosť častic je v oboch prostrediaciach rovnaká, koeficient prieplustnosti je dany pomerom medzi hustotami pravdepodobnostami v ostatrých prípadoch pomerom medzi hustotami tokov pravdepodobnosti.

Odráz častic na rozhraní je čisto kvantovo-mechanickej efektom, ktorý nemá žiadnu analógiu v klasickej fyzike a je dôsledkom vlnovej reprezentácie častic.

Za kvantový extrém možno považovať prípad, keď  $U < 0$  a  $E \ll |U|$ . Klasická častica preletí nad schodom so znáčnym zvýšením rýchlosť. V kvantovej mechanike pre vlnové vektori de Broglieho vln z rovnice (2.7) vyplýva:

$$k_1 \ll k_2$$

kde

$$k_1^2 = \frac{2m}{\hbar^2} U \quad \text{a} \quad k_2^2 = \frac{2m}{\hbar^2} (U - E)$$

Je zrejmé, že vlnová funkcia  $A e^{ik_1 x} e^{-\frac{iE_1}{\hbar}}$  opisuje dopadajúce časticu na bariéru zľava a  $B e^{-ik_1 x} e^{-\frac{iE_1}{\hbar}}$  odrazené časticu od bariéry. V oblasti II je však situácia odlišná. Riešenie  $D e^{k_2 x}$  reprezentuje nehomogénu vlnu, ktorej amplitúda a kvadrát monotonne rastie so vzdialenosťou. Hustota pravdepodobnosti sa stava pre  $x \rightarrow \infty$  nenormovanou a nemôže preto popísat realné časticu. V tomto prípade  $D = 0$  a funkcia

## 2.1.2 Prípad $E < V$ :

Podľa klasickej fyziky je oblast II z energetického hľadiska nedostupná. Častica sa na stene odrazí a začne sa sa pohybovať v opačnom smere osi  $x$ , rýchlosťou  $-v_1$ .

$$\psi_{II} = C e^{-k_2 x} \quad (2.21)$$

Potenciálová stena sa chová ako dokonale zrkadlo s koeficient odraznosti  $R = 1$  a prieplustnosti  $T = 0$ .

Skúmajme pohyb častic z hľadiska kvantovej fyziky. Pretransformujme najskôr úlohu s časticou na úlohu so svetelnou vlnou šíriacou sa dvoma optickými prostrediami s indexami lomov  $n_1^2 = \frac{2m}{\hbar^2} [E - U] \frac{c^2}{\omega^2}$  a  $n_2^2 = \frac{2m}{\hbar^2} [E - U] \frac{c^2}{\omega^2}$ . Keďže  $E < U$ , druhému prostrediu zodpovedá index lomu s rôzno imáginárnym kvadrátom  $n_2^2$ . S rovnakou situáciou sme sa stretli v optike pri totálnom odraze svetla. Zistili sme, že do optického redšielo prostredia preniká nehomogéna pokrívka vlna, ktorej amplitúda exponentiálne klesá. V prostredí nedochádza k absorbcii a svetelná energia sa celá „vrátila“ do pôvodného prostredia. Koeficient odraznosti  $R = 1$  a prieplustnosti  $T = 0$ . Podľa optického modelu budeme predpokladať, že časticu sa chovajú ako svetelné vlny a preto preniknú aj do „zakázanej zóny“ II s nemulovou pravdepodobnosťou, ktorej hodnota s hlbokou exponentiálne klesá. V prostredí I očakávame dopadajúcu aj odrazenú de Broglieho vlnu a v prostredí II iba nehomogénu. Overme tieto hypotézy riešením SchR. Pre oblasť I má SchR tvar

$$\frac{d^2\psi(x)}{dx^2} + \frac{2m}{\hbar^2} E\psi(x) = 0 \quad (2.17)$$

a riešenie

$$\psi_1 = A e^{ik_1 x} + B e^{-ik_1 x} \quad (2.18)$$

V oblasti II je

$$\frac{d^2\psi(x)}{dx^2} + \frac{2m}{\hbar^2} [E - U(x)] \psi(x) = 0 \quad (2.19)$$

a jej riešenie

$$\psi_{II} = C e^{-k_2 x} + D e^{k_2 x} \quad (2.20)$$

Zároveň treba zabezpečiť spojitosť prvých a druhých derivácií v bode  $x = 0$ :

$$\begin{aligned}\psi_1(0) &= \psi_2(0) \Rightarrow A + B = C \\ \left(\frac{d\psi_I}{dx}\right)_{x=0} &= \left(\frac{d\psi_{II}}{dx}\right)_{x=0} \Rightarrow ik_1A - ik_1B = k_2C\end{aligned}\quad (2.22)$$

Riešením (2.22) a (2.23) pre amplitúdy de Broglieho vín dostaneme:

$$\begin{aligned}B &= \frac{ik_1 + k_2}{ik_1 - k_2} A \\ C &= \frac{2ik_1}{ik_1 - k_2} A\end{aligned}\quad (2.24)$$

Častice sa na bariere podobne ako v klasickej fyzike odrazia so 100% pravdepodobnosťou:

$$\begin{aligned}R &= \frac{\psi_{IB}^* \psi_{IB}}{\psi_{IA}^* \psi_{IA}} = \left(\frac{k_1 - ik_2}{k_1 + ik_2}\right)^* \left(\frac{k_1 - ik_2}{k_1 + ik_2}\right) \\ &= \left(\frac{k_1 + ik_2}{k_1 - ik_2}\right) \left(\frac{k_1 - ik_2}{k_1 + ik_2}\right) = 1\end{aligned}\quad (2.25)$$

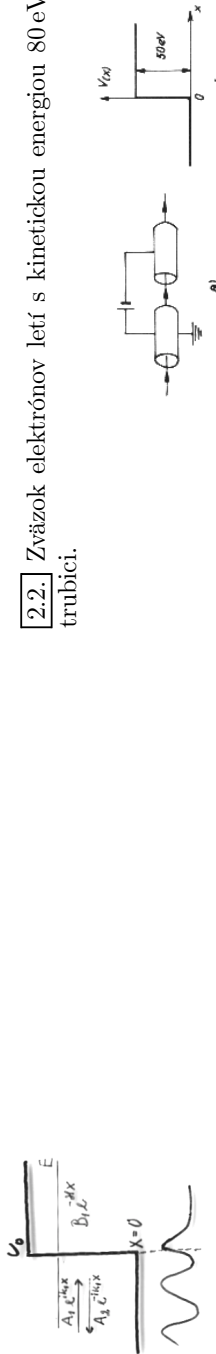
Aj v tomto pripade však existuje zásadný rozdiel medzi chovaním klasických a kvantových častic. Vypočítajme hustotu pravdepodobnosti ich výskytu v oblasti bariery t.j. v „zakázanej“ zóne :

$$w_2(x) = |\psi_2|^2 = |C|^2 e^{-2k_2 x} = \frac{4k_1^2}{k_1^2 + k_2^2} \exp\left[-\frac{2}{\hbar} \sqrt{2m(U-E)} x\right] \quad (2.27)$$

Táto pravdepodobnosť môže byť v blízkosti hrany schodu relativne veľká, s rastúcou vzdialenosťou však exponenciálne klesá (obr.??).

**2.1.** Vypočítajte priezačnosť potenciálovej steny s potenciádom  $U$ , keď častica nalietava sprava doľava a porovnajte s koeficientom  $T$ , keď sa pohybuje naopak (zľava doprava).

**2.2.** Zvážok elektrónov letí s kinetickou energiou 80 eV v uzemnenej kovovej trubici.



Základným rozdielom medzi kvantovými a klasickými časticami je ich hmotnosť. Pre klasické objekty s hmotnosťou niekoľkonásobne vyššou ako kvantových je hustota pravdepodobnosti ich výskytu s vysokou presnosťou v celom priestore  $x > 0$

Elektróny potom vletia do druhej trubice, ktoré má potenciál  $-50$  V vzhládom na Zem. a) Kolko elektrónov sa odraží späť? b) Aká časť elektrónového zväzku sa odraží v pripade keď trubica má potenciál  $50$  eV. b. Aké množstvo elektrónov sa odraží, keď trubica B bude mať potenciál  $U = -100$  eV.

## 2.2 Potenciálové valy

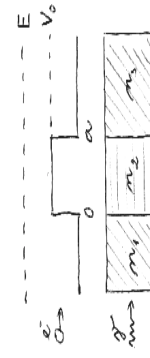
Pod jednorozmerným potenciálovým valom budeme rozumieť taký prípad, keď pribeh potenciálnej energie má nasledovnú štruktúru :

$$U = \begin{cases} U = 0 & x < 0 \\ U = U_0 & 0 \leq x \leq a \\ U = 0 & x > a \end{cases} \quad (2.29)$$

Ak  $E < U_0$ , hovoríme o podbariérových prechodoch, ak  $E < U_0$ , o nadbariérových prechodoch. Vo fyzike sa tieto prechody vyskytujú veľmi často, preto ich v nasledovných kapitolách zanalýzujeme.

### 2.2.1 Nadbariérový prechod $E > U$

Podľa *klasickej fyziky* má čästica dostatočnú energiu na prekonanie potenciálového valu a preto koeficient preplustnosti  $T = 1$ . V *kvantovej fyzike* je situácia ekvivalentná s prechodom svetnej vlny cez tri optické prostredia s indexami lomu  $n_1^2 = \frac{2m}{\hbar^2} [E]$ ,  $n_2^2 = \frac{2m}{\hbar^2} [E - U]$ ,  $n_3^2 = \frac{2m}{\hbar^2} [E]$ .



Je zrejmé, že dva susedné zväzky sa navzájom lišia vždy o rovnaký dráhový rozdiel  $\Delta = 2a$ , ktorému zodpovedá fázový rozdiel

$$\varphi = k\Delta = \sqrt{\frac{2m(E-V)}{\hbar^2}} 2a \quad (2.30)$$

Za vlnový vektor  $k$  sme dosadili  $k_2$  z rovnice (2.7). Výslednú amplitúdu vhenia v prostredí III nájdeme superpozíciou parciálnych de Broglieho vín :

$$A_t = A_{t1} + A_{t2} + \dots + A_{tN} \quad (2.31)$$

Pretože každý ďalší zväzok vychádza z prostredia II po dvoch ďalších odrazoch, amplitúdy susedných zväzkov sa lišia  $r^2$  krát:

$$A_t = (tt + trr^2 e^{i\varphi} + \dots + trr^{(2N-1)} e^{i(N-1)\varphi}) A \quad (2.32)$$

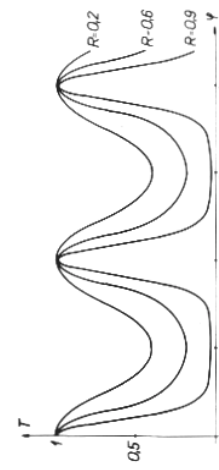
Ide o geometrický rad s kvocientom  $q = |r^2 e^{i\varphi}| < 1$ , ktorý pre  $N \rightarrow \infty$  konverguje k hodnote

$$A_t = \frac{tt}{1 - r^2 e^{i\varphi}} A$$

Hustotu pravdepodobnosti prechádzajúcich častic vypočítame z kvadrátu amplitúdy:

$$A_t A_t^* = \frac{(tt)^2 A^2}{(1 - r^2 e^{i\varphi})(1 - r^2 e^{-i\varphi})} = \frac{(tt)^2 A^2}{1 + r^4 - 2r^2 \cos \varphi} \quad (2.33)$$

Na základe optickej analógie očakávame podobný rezonančný charakter koeficientu preplustnosti častic. Kvantovo-mechanicke odvodenie  $T$  zo SchR je náročné (vid. dodatok) a preto ho odvodíme priamo z optického modelu.



Použitím nasledovných identít:  $\cos \varphi = 1 - 2 \sin^2(\frac{\varphi}{2})$ ,  $r^2 = R$ ,  $t^2 = T$  a  $r^2 + t^2 = 1$  prejde vzťah (2.33) do tvaru:

$$T_J = \frac{A_t A_t^*}{A^2} = \frac{1}{1 + \frac{4r^2}{(1-r^2)^2} \sin^2(\frac{\varphi}{2})} = \frac{1}{1 + \frac{4R}{(1-R)^2} \sin^2(\frac{\varphi}{2})} \quad (2.34)$$

Po dosadení (2.13), (2.30) do (2.34) pre koeficient priepustnosti pri nadbariérovom prechode platí vzťah

$$T_j = \frac{1}{1 + \frac{U_0^2}{4E(E-U_0)} \sin^2 \frac{\sqrt{2m(E-U_0)}a}{\hbar}} \quad (2.35)$$

Najvýznamnejším javom je oscilujúci charakter koeficientu priepustnosti  $T_j$ , ktorý je dôsledkom konštruktívnej a deštruktívnej interferencie de Broglieho vln.  $T_j$  nadobúda maximálnu hodnotu ( $T_j = 1$ ) vtedy, keď je menovateľ najmenší, teda keď

$$\sin^2 \frac{\sqrt{2m(E-U_0)}a}{\hbar} = 0 \quad (2.36)$$

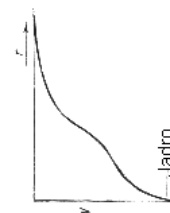
$$\frac{\sqrt{2m(E-U_0)}a}{\hbar} = n\pi \quad (2.37)$$

Z rovnice (2.37) vyplýva, že časťice s energiou

$$E = \frac{1}{2m} \left( \frac{n\pi\hbar}{a} \right)^2 + U_0 \quad (2.38)$$

preniknú so 100 % pravdepodobnosťou cez potenciálneho bariéru, podobne ako v klasickej fyzike.

Rezonančný charakter priepustnosti častic možno sledovať pri rozptyle elektrónov na atónoch vzácných plynov akými sú neón, argón. Potenciálna energia elektrónov vo vnútri atómov sa dá v prvom priblžení approximovať pravouhlou jamou.



Pre elektróny s energiami  $E = 0,1 \text{ eV}$  je táto jama priezračná  $T_j = 1$ . Pravdepodobnosť ich rozptylu buде v tomto pripade oväľa menšia ako pre iné atómy, resp. tie isté atómy s inými energiami elektrónov. Uvedený efekt sa nazýva Ramzauerov efekt a bol experimentálne aj potvrdený.

Nadbariérové prechody sa dajú tiež využiť na filtrovanie častic s príslušnými energiami, podobne ako v optike interferenčné filtre na získavanie svetla v úzkom intervale vlnových dĺžok.

## 2.2.2 Podbariérový prechod $U > E$

Časticie dopadajúce na bariéru sa podľa klasickej fyziky úplne odrážajú, pretože nemajú dostatok energie na jej prekonanie. V kvantovej mechanike je situácia oveľa zaujímavejšia. So špeciálnym prípadom podbariérového prechodu sme sa stretli pri analýze pohybu častic cez potenciálový schod. Schod je vlastne potenciálová bariéra s nekonečnou šírkou. Zistili sme, že pravdepodobnosť vyskytu časticie v oblasti  $x > 0$  exponenciálne klesá. Z jej priebehu je zrejmé, že pri konečnej šírke bariéry  $a$  bude pravdepodobnosť nájdenia častice v bode  $x = a$  nenuľová. V prvom priblžení možno koeficient priepustnosti  $T$  možno v prvom priblžení odhadnúť zo vzťahu (2.27)

$$T = \frac{4k_1^2}{k_1^2 + k_2^2} \exp \left[ -\frac{2}{\hbar} \sqrt{2m(U-E)a} \right] \quad (2.39)$$

Pretransformujme úlohu do reči svetelných vln. Index lomu v prostrediu II bude rýdzou imaginárny ( $U > E$ ) a na rozhraní I - II nastáva totálny odraz. Ak sa v blízkosti rozhrania umiestní ďalší povrch, svetelná vlna preniká aj do tohto materiálu (experiment NaCl). Hriábka prostredia musí však rádovo zodpovedať vlnovej dĺžke použitého svetla. Podľa optického modelu očakávame, že sa časťice presiaľku aj mimo pôvodnej oblasti I. Ďalšie úvahy spolu s matematickými úpravami potrebными na určenie koeficientu  $T$  sú totožné s úvahami z nadbariérového prechodu a preto ich nebudem opakovat. Priamo použijeme odvodený vzťah (2.34), ktorý aktualizujeme pre nás prípad:

$$\begin{aligned} \frac{1}{T} &= 1 + \frac{4r^2}{(1-r^2)^2} \sin^2 \left( \frac{\varphi}{2} \right) = 1 + \frac{4 \left( \frac{\sqrt{E}-i\sqrt{V-E}}{\sqrt{E}+i\sqrt{V-E}} \right)^2 \sin^2 \frac{\varphi}{2}}{\left( 1 - \left( \frac{\sqrt{E}-i\sqrt{V-E}}{\sqrt{E}+i\sqrt{V-E}} \right)^2 \right)^2} \\ &= 1 + \frac{4 \left( \sqrt{E} - i\sqrt{V-E} \right)^2 \left( \sqrt{E} + i\sqrt{V-E} \right)^2}{\left( \sqrt{E} + i\sqrt{V-E} \right)^2 - \left( \sqrt{E} - i\sqrt{V-E} \right)^2} \frac{\sin^2 \frac{\varphi}{2}}{2} \end{aligned} \quad (2.40)$$

Čitatelia a menovateľa sme upravili podľa vzťahu:  $A^2 - B^2 = (A - B)(A + B)$

$$\frac{1}{T} = 1 + \frac{4(V)^2}{(4i\sqrt{V-E} - E\sqrt{E})^2} \sin^2 \frac{\varphi}{2} \quad (2.41)$$

Argument súmu je dôsledkom komplexného vlnového vektora tiež imaginárny:

$$\varphi = 2ka = 2\sqrt{\frac{2m(E-V)}{\hbar^2}}a = i\sqrt{\frac{2m(V-E)}{\hbar^2}} = i\gamma \quad (2.42)$$

Upravme funkciu sínus podľa Eulerovoho vzťahu

$$\sin i\gamma = \frac{e^{-\gamma} - e^{\gamma}}{2i} = -\frac{\sinh \gamma}{i}$$

a dosadíme do rovnice (2.41)

$$\begin{aligned} \frac{1}{T} &= 1 + \frac{V^2}{-4E(V-E)} \left( -\frac{1}{i} \sinh \sqrt{\frac{2m(V-E)}{\hbar^2}} a \right)^2 = \\ &= 1 + \frac{V^2}{4E(V-E)} \sinh^2 \sqrt{\frac{2m(V-E)}{\hbar^2}} a \end{aligned} \quad (2.43)$$

V prípade širokej a vysokej bariéry

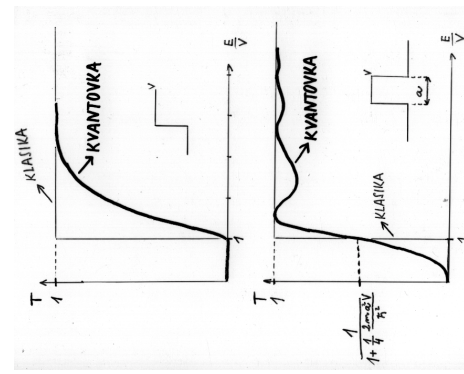
$$\sqrt{\frac{2m(V-E)}{\hbar^2}} a \gg 1$$

je koeficient priepustnosti:

$$\frac{1}{T} \approx \frac{V^2}{16E(V-E)} \exp \left( 2 \sqrt{\frac{2m(V-E)}{\hbar^2}} a \right) \quad (2.44)$$

Jav, pri ktorom je časticá schopná prekonáť bariéru konečnej hrúbky, napriek tomu, že jej energia je menšia ako potenciálna, nazývame *tunelovým javom*. Uplatňuje sa v mnohých experimentoch napr. alfa rozpad nestabilých atómových jadier, približovanie jadier deutéria a tritia pri termojadrových reakciach, studená emisia a pod.

Na obrázku sú zobrazené priebehy koeficientov priepustnosti  $T$  v závislosti od energie pre pravouhlé steny a bariéry.



Doteraz sme podrobne skúmali prechod častic cez potenciálnu bariéru najednoduchšieho typu (pravouhlú). Optickou analógiou však môžme odhadnúť  $T$  pre lúbovolný typ bariéry. Rozdélme oblasť, v ktorej má  $E < U$  na infinitenzámlne časti s hrúbkou  $dx$ . V každej takejto oblasti môžeme považovať  $U$  za konštantu.



Úloha je ekvivalentná prechodu svetelnej vlny sústavou plánparallelných doštičiek s meniacim sa indexom lomu

$$n(x) = \sqrt{\frac{2m}{\hbar^2} [U(x) - E]} \frac{c^2}{\omega^2} \quad (2.45)$$

Na každom optickom rozhraní nastáva čiastočný odraz a celkový koeficient priepustnosti bude zrejme daný

$$T \approx T_1 T_2 \dots T_N$$

po zlogaritmovaní:

$$\ln T \approx \ln T_1 + \ln T_2 + \dots + \ln T_N$$

Pre pravouhlé bariéry sme odvodili

$$\begin{aligned} \ln T_N &\approx -2 \sqrt{\frac{2m[U(x) - E]}{\hbar^2}} dx_N \\ \ln T &\approx \sum_N -2 \sqrt{\frac{2m[U(x) - E]}{\hbar^2}} dx_N \end{aligned} \quad (2.46)$$

Vzhľadom na malosť  $dx_N \rightarrow 0$  suma v rovnici (2.45) prechádza na integrál:

$$\ln T \approx -2 \int_{x_1}^{x_2} dx \sqrt{\frac{2m[U(x) - E]}{\hbar^2}} \quad (2.46)$$

kde hranice  $x_2, x_1$  sú krajiné body podbariérovej oblasti pre ktoré platí:

$$U(x_1) = E \quad \text{a} \quad U(x_2) = E$$

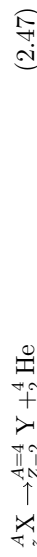
Odrydený výraz (2.46) je hrubým kvalitatívnym priblžením zoslabovania amplitúdy vlnovej funkcie pre lúbovolný priebeh potenciálnej energie  $U(x)$ . Použijeme ho pri interpretácii alfa rozpadu, ako aj strednej emisie elektrónov v elektrickom poli.

Priezračnosť bariéry  $T$  (2.46) závisí predovšetkým od jej šírky  $x_2 - x_1$ , energie  $E$  a hmotnosti častice  $m$ . Časťa s menešou hmotnosťou preniká cez bariéru ľahšie. Koeficient  $T$  so vzrástom energie narastá, primajmenšom z dvoch dôvodov. Hodnota podintegrálnej funkcie sa zmenšuje a šírka bariéry sa zzužuje (t.j. body  $x_1, x_2$  sa k sebe približujú).

## 2.2.3 Aplikácie podbariérového prechodu

### Teória alfa rozpadu.

Spontánny  $\alpha$  ropad je proces, pri ktorom sa jadro zbavuje exitačnej energie, resp. dosahuje stabilnejšiu konfiguráciu. Schematicky ho možno zapísat:



Tento proces prebieha iba vtedy, keď je dovolený z hľadiska relativistického zákona zachovania energie

$$e^2 [M(A, Z) - M(4, 2) - M(A - 4, Z - 2)] > 0 \quad (2.48)$$

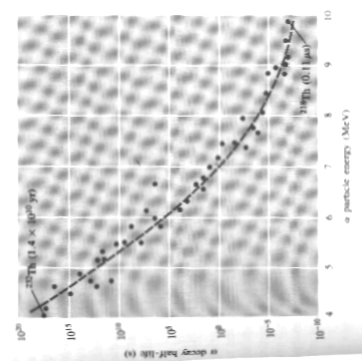
kde  $M$  sú pokojové hmotnosti zúčastnených jadier. Po dosadení príslušných hmotností zistíme, že všetky tiažké izotopy z konca periodickej tabuľky  $A \approx 140$  sú nestabilné a emitujú  $\alpha$  časticie s relativne úzkeho intervalu energii  $E \approx 3 - 9$  MeV. Na druhej strane ich polčasy rozpada sa menia v širokom intervale: od zlomkov sekundy  $10^{-7}$  s až po hranice merateľnosti  $10^{10}$  s :

Jadro	Polčas rozpadu $\alpha$ [s]	$E_k$ [MeV]
$^{212}_{84}\text{Po}$	$3,04 \cdot 10^{-7}$	8,776
$^{211}_{84}\text{Po}$	0,52	7,434
$^{224}_{88}\text{Ra}$	$3,14 \cdot 10^5$	5,681
$^{241}_{95}\text{Am}$	$1,48 \cdot 10^{10}$	5,532

V roku 1911 Geiger a Nuttall štúdiom rádioaktívnych rozpadow objavili empirické pravidlo medzi polčasom rozpadu jadier  $T_{1/2}$  a energiou  $E$  emitovaných  $\alpha$  častic:

$$\ln T_{1/2} = AE^{-1} + B \quad (2.49)$$

Na obrázku sú porovnané experimentálne údaje, fitované s rovnicou (2.49).



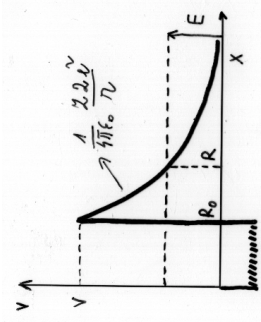
Pre typické hodnoty rýchlosťi  $v \approx 2 \cdot 10^7 \text{ m s}^{-1}$  a  $R_0 \approx 10^{-14} \text{ m}$  je frekvencia nárazov obrovská  $v \approx 10^{21} \text{ s}^{-1}$ . Napriek tomuto tomuto treba pri niektorých jadrach čakať na emisiu alfa častic desiatky rokov (vid' tab.).

$$\lambda = \lambda_0 v T \quad (2.51)$$

kde  $\lambda_0$  – pravdepodobnosť kroevania časticie  $\alpha$  v jadre,  $v$  – počtom nárazov za jednotku času na potenciálovú bariéru a  $T$  – pravdepodobnosť prechodu časticie valom. Ak alfa časticica knítia v jadre s polomerom  $R_0$  rýchlosťou  $v$ , potom

$$v = \frac{v}{2R}$$

Theoretické vysvetlenie empirického pravidla bolo rozpracované v roku 1928 Gamowom a nezávisle Gurneyevom a Condonom. Ide o kvantovo-mechanický jav tunelový efekt, s ktorým sme sa stretli v predchádzajúcej kapitole. Znázorníme závislosť potenciálnej energie alfa časticie od stredu tiažkého jadra.



Vo vnútri jadra prevládajú príťažlivé sily, čo sa prejavuje prudkým poklesom potenciálnej energie. Ak predpokladáme, že väzbová energia na jeden nuklein je približne 7 MeV, potom hľadka potenciálového poklesu je okolo 30 MeV. Miemo jadra je účinok jadrových sôl zanedbatelný a začnajú prevládať odpudivé elektrostatické sily, ktorých potenciál so vzájomnosťou klesá podľa vzťahu

$$U = \frac{2Ze^2}{4\pi\varepsilon_0 r} \quad (2.50)$$

Dosadením do (2.50) pre stredne tiažké jadro  $^{226}\text{Ra}$  je  $U \approx 26 \text{ MeV}$ . Bezné čästice alfa majú energiu od 3 do 9 MeV a na opustenie jadra im chýba približne 16-21 MeV. To je dôvod, prečo produkcia alfa častic neprebieha okamžite, hoci z energetického hľadiska je pre jadro výhodná. Čästica sa v jadre neustále pohybuje a naráža na potenciálový val, ktorý ju obklupuje. Pri každom náraze existuje istá pravdepodobnosť, že ho pretnie (2.46). Rozpadová konštantá  $\lambda$  bude zrejme daná súčinom troch členov:

Koeficient prieplustnosti  $T$  vypočítame podľa vzťahu (2.46) s potenciálom energiou (2.50). Hranice bariéry sú určené polomerom jadra  $R_0$  a vzdialenosťou  $R$  od jeho stredu, v ktorej je sphenná podmienka  $U = E$ :

$$x_1 = R_0 \approx 1,2 \cdot 10^{-13} A^{1/3} \text{ cm} \quad (2.52)$$

$$x_2 = R = \frac{2e^2 Z}{4\pi\varepsilon_0 E} \quad (2.53)$$

$A$  je nukleové číslo,  $Z$  je protonové číslo dcérskeho jadra,  $2e$  náboj alfa častice. Pre stredne ťažké jadro  $^{226}\text{Ra}$ , ktoré emituje alfa častice s energiou  $E = 4,78 \text{ MeV}$ , dostaneme  $x_1 \approx 7,3 \text{ fm}$ ,  $x_2 \approx 50 \text{ fm}$ .

$$\ln T \approx -2 \int_{R_0}^R dx \sqrt{\frac{2m_\alpha \left( \frac{2e^2 Z}{4\pi\varepsilon_0 r} - E \right)}{\hbar^2}} = -2 \int_{R_0}^R dx \sqrt{\frac{2m_\alpha}{\hbar^2} \sqrt{\left( \frac{2e^2 Z}{4\pi\varepsilon_0 r} - E \right)}} \quad (2.54)$$

Jedenoduchou úpravou

$$\ln T = -2 \int_{R_0/R}^1 dx \sqrt{\frac{2m_\alpha E}{\hbar^2} \sqrt{\left( \frac{R}{x} - 1 \right)}} \quad (2.55)$$

Zavedieme substitúciu  $x = R \cos^2 \varphi$

$$\ln T = -2 \sqrt{\left( \frac{2m_\alpha E}{\hbar^2} \right)} R \left[ \arccos \sqrt{\frac{R_0}{R}} - \sqrt{\frac{R_0}{R} \left( 1 - \frac{R_0}{R} \right)} \right] \quad (2.56)$$

Pre široké bariéry  $R \gg R_0$  podľa Taylorového rozvoja platí

$$\arccos \sqrt{\frac{R_0}{R}} \approx \frac{1}{2}\pi - \sqrt{\frac{R_0}{R}} \quad (2.57)$$

$$\sqrt{1 - \frac{R_0}{R}} \approx 1 \quad (2.58)$$

Dosadením do (2.56)

$$\ln T = -2 \sqrt{\left( \frac{2m_\alpha E}{\hbar^2} \right)} R \left[ \frac{1}{2}\pi - 2\sqrt{\frac{R_0}{R}} \right] \quad (2.59)$$

Nahradíme veličinu  $R$  výrazom  $R = \frac{2e^2 Z}{4\pi\varepsilon_0 E}$ :

$$\ln T = \frac{4e}{\hbar} \sqrt{\frac{m_\alpha}{\pi\varepsilon_0}} Z^{1/2} R_0^{1/2} - \frac{e^2}{\hbar\varepsilon_0} \sqrt{\frac{1}{2} m_\alpha Z E^{-1/2}} \quad (2.60)$$

a po dosadení konštant

$$\ln T = 2,97 Z^{1/2} R_0^{1/2} - 3,95 Z E^{-1/2} \quad (2.61)$$

kde  $E$  je kinetická energia častice a vyjadrená v MeV,  $R_0$  - polomer jadra vyjadrený v fermionoch. Rozpadová konštantu  $\lambda$  podľa (2.51)

$$\ln \lambda = \ln \lambda_0 + \ln \frac{v}{2R_0} + 2,97 Z^{1/2} R_0^{1/2} - 3,95 Z E^{-1/2} \quad (2.61)$$

$\lambda_0$  je dominantným faktorom, ktorý určuje rád  $\ln \lambda$ , je tretí člen. Ak predpokladame, že alfa častice majú energiu od 4 do 9 MeV, prvý člen rovnice (2.61) sa mení v tomto energetickom intervale o  $\ln \frac{3}{2}$ , druhý člen o  $148 * (\frac{1}{2} - \frac{1}{3}) \approx 25$ . Hodnota  $\lambda_0$  reprezentuje pravdepodobnosť vytvorenia častice vo vnútri jadra.

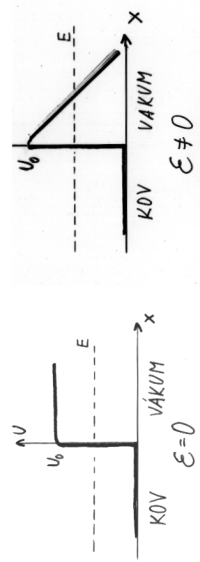
Jej príspevok významne závisí od konfigurácie nukleónov v jadre a môže byť určený len veľmi približne modelovými výpočtami. Naštastie celý člen  $\lambda_0$  je argumentom logaritmu, jeho nepresnosť nezohľadňuje takmer žiadnu úlohu.

Kvantovo mechanický rozbor využívanie alfa častic umožňuje pochopíť závislosť polčasu rozpadu na energiu. Ďalším významným prínosom teórie alfa rozpadu je experimentálne potvrdenie prenikania častic potenciálovým valom s väčšou potenciálnou energiou, ako má alfa častica. V klasickej fyzike k takému javu nemôže dôjsť. Z rovnice (2.61) možno tiež určiť polomer jadra, ktorý zodpovedá hodnote ziskanej jadrovým rozptylom Rutherfordového typu.

Vzťah (2.61) popisuje aj obrátený proces, keď nabitá častica s energiou  $E$ , menšou ako výška coulombovskej bariéry  $U$ , naráža na jadro. Prekonaním coulombovskej bariéry, prebehne jadrová reakcia, ktoréj pravdepodobnosť  $T$  rastie s vyššou energiou  $E$ . Nabité častice sa preto urýchľujú urýchľovačmi. Situácia sa zmení, keď iniciátorom jadrovej reakcie budú neutróny. Neutralné čästice nemusia prekonávať coulombovskú bariéru a preto volne premikajú do jadra. Použitím tepelných neutrónov s  $E \sim \frac{1}{40} \text{ eV}$  sú výťažky mnohých jadrových reakcií pomere vysoke.

### Studená emisia elektrónov

Ďalším ilustračným príkladom tunnelovania častíc je studená emisia elektrónov. Vo vnútri kovu sa pohybujú volné elektróny, sprostredkujúce vodivosť. Na opusťenie kovu potrebujú dodatočnú energiu  $\varphi = U_0 - E \approx 5$  až  $10 \text{ eV}$ , ktorá sa nazýva výstupnou prácou. Vložíme kov do vonkajšieho elektrického poľa s intenzitou  $\varepsilon$ . Potenciálna energia čästíc vzrástie o  $-\varepsilon\varepsilon$  a výsledný priebeh sa zmení:



## 2.3 Potenciállové jamy

### 2.3.1 Nekonečná jama

Vyšetrujme polyb časticie s hmotnosťou  $m$ , ktorá je viazaná na konečný interval  $0 \leq x \leq l$ . Aby sme zabránil jej prenikanu mimo túto oblasť, obklopíme ju potenciálnou stenou s  $U(x) \rightarrow \infty$ . Formálne možno povedať, že častica sa pohybuje v poli s potenciálnou energiou:

$$U(x) = \begin{cases} 0 & 0 \leq x \leq l \\ \infty & x < 0, x > l \end{cases}$$

SchR pre stacionárne stavy

$$\frac{d^2\psi(x)}{dx^2} + k^2\psi(x) = 0 \quad (2.63)$$

má riešenie

$$\psi(x) = A \sin kx + B \cos kx \quad (2.64)$$

$$k = \sqrt{\frac{2m}{\hbar^2} E} \quad (2.65)$$

Pravdepodobnosť výskytu časticie mimo oblasti  $(0, l)$  je nulová a preto  $\Psi(x) = 0$ . Vlnová funkcia musí byť spojiteľná a preto  $\psi(0) = \psi(l) = 0$ . Dosadením do týchto okrajových podmienok dostaneme sústavu dvoch rovníc:

$$B \cos kl = 0 \quad (2.66)$$

$$Ak \cos kl - B \sin kl = 0 \quad (2.67)$$

z ktorých vyplýva:

$$A \sin kl = 0 \quad (2.68)$$

Rovnica (2.68) je splnená pre všetky vlnové vektory  $k_n$ :

$$k_n l = n\pi, \quad n \in Z_{\{0\}} \quad (2.69)$$

Prípad  $n = 0$ , pretože vedie k trivialemu výsledku  $\psi \equiv 0$ , ktorý je fyzikálne neakceptovateľný, pretože častica by sa nikde nevyškytvala. Záporné hodnoty  $n$  menia známienko vlastnej funkcie, ale nevedú k novým fyzikálnym stavom  $\psi(n)\psi^*(n) = \psi(-n)\psi^*(-n)$ . Stačí preto vybrať kvantové čísla  $n$  z množiny prirodzených čísel. Energiu časticie dosadením (2.69) do (2.65):

$$E_n = \frac{\pi^2 \hbar^2}{2ml^2} n^2 \quad (2.70)$$

Vzniknutým potenciállovým val môže elektrón pretrnelovať, podobne ako alfa časťica Coulombovskú bariéru. Tento proces sa nazýva *chlađanou emisiou*. Priebeh potenciálnej energie nahradíme priamkou

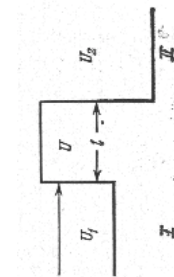
$$U(x) - E = \varphi - e\varepsilon x$$

a dosadiieme do (2.46)

$$T \approx \exp \left[ -\frac{2a}{\hbar_0} \int \sqrt{2m(\varphi - e\varepsilon x)} dx \right] = \exp \left[ -\frac{4\sqrt{2m}}{3\hbar e\varepsilon} \varphi^{\frac{3}{2}} \right] \quad (2.62)$$

Priezračnosť kovu rastie so zväčšovaním intenzity elektrického poľa a so zmenšovaním výstupnej práce. Napriek tomu experimentálne merané toky elektrónov sú niekolkonásobne vyššie ako predpokladá teória. Je to spôsobené tým, že povrch kovov nie je dokonale hladký, obsahuje mikroskopické nerovnosti vytvárajúce silné nehomogéne poľia, niekolkonásobne odlišné od  $\varepsilon$ . (podľa Coulumbovej teórie je intenzita elektrického poľa nepríamo úmerná polomeru krivosti). Veľká citlivosť koeficientu  $T$  na zvýšenie intenzity poľa  $\varepsilon$  má preto za následok jeho vzrást.

**2.3.\*** a) Vypočítajte koeficient priľustnosti  $T$  a odraznosti pre bariéru zobrazenú na obr. b) Vyšetrite situáciu  $U_1 = U_2$ , c) Za akých podmienok sa nelbude častica od bariéry vôbec odrážať?



**2.4.\*** Vypočítajte pravdepodobnosť termojadrovej reakcie pri izbovej teplote a pri teplote Shnka.

kde  $n = 1, 2, 3, \dots$  so zodpovedajúcimi vlastnými funkciami:

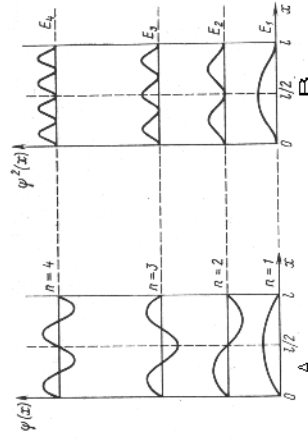
$$\psi_n(x) = A \sin \frac{\pi n}{l} x \quad (2.71)$$

Konštantu  $A$  určíme z normovacej podmienky:

$$\int_{-\infty}^{\infty} \psi_n \psi_n^* dx = A^2 \int_0^l \sin^2 \frac{\pi n}{l} x dx = 1$$

$$A = \sqrt{\frac{2}{l}}$$

Na obrázku sú graficky znázornené funkcie  $\psi_n$  spolu s hustotou pravdepodobnosti  $\frac{dP}{dx} = \psi_n \psi_n^*$ :



V intervale  $0 \leq x \leq l$  obsahujú  $(n - 1)$  uzlov, v ktorých sa časticu nevyskytuje vôbec a  $n$  extrémov, kde ju možno objaviť s najväčšou pravdepodobnosťou. Časťice v stave  $n = 1$  sa prednostne nachádzajú v strede jamy pričom vo všetkých kvantových stavoch nedosiahnu jej okraj  $\psi(0) = \psi(l) = 0$ . S rastom kvantového čísla  $n$  sa maximálna hustota pravdepodobnosti  $\psi_n \psi_n^*$  navzájom približujú. Pri veľkých hodnotách  $n$  sa striedajú s minimami tak rýchlo, že sa zdievajú a vytvárajú rovnomenné rozdelenie, typické pre klasické časticie  $dP_{kl} = \frac{dx}{l} = \text{konšt.}$

Energetické spektrum je diskrétné s minimálnou hodnotou energie:

$$E_{\min} = E_1 = \frac{\pi^2 \hbar^2}{2ml^2} \quad (2.72)$$

na rozdiel od klasickej fyziky, kde  $E_{\min} = 0$ . Relatívny rozostup energetických hladín sa so zväčšujúcim kvantovým číslom  $n$  zmenšuje a pri veľkých hodnotách  $n$  je takmer nepozorovateľný. Spektrum sa stáva spojité ako v prípade klasických častic ( $n \gg 1$ ):

$$\frac{\Delta E_n}{E_n} = \frac{E_{n+1} - E_n}{E_n} = \frac{\frac{\pi^2 \hbar^2}{2ml^2} (2n + 1)}{\frac{\pi^2 \hbar^2}{2ml^2} n^2} \approx \frac{2}{n} \rightarrow 0$$

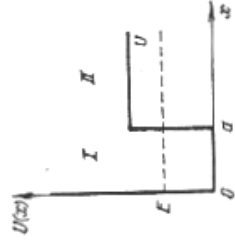
Uvedený trend je plne v súlade s optickou analógiou a s princípom korešpondencie: Nárastom kvantového čísla (2.72) sa zväčšuje energia  $E_n$  a zmenšuje de Broglieho vlnovú dĺžku:

$$\lambda_n = \frac{\hbar}{\sqrt{2mE_n}} \sim \frac{1}{n} \rightarrow 0$$

Tým sa však spôsobí podmienky pre platnosť klasickej fyziky  $l \gg \lambda$ .

### 2.3.2 Jednorozmerná polonekonečná jama.

Predpokladajme, že časticu je viazaná v nasledujúcom silovom poli



$$U = \begin{cases} \infty & x < 0 \\ 0 & 0 < x < a \\ U & x > a \end{cases}$$

a jej energia  $E < U$ . Nájdime energiu viazaných stavov. Podľa *klasickej fyziky* jej kinetická energia sa nemení a môže nadobúdať libovoľné hodnoty. Časticu nemá dostatočok energie na opustenie jamy a periodicky sa odráža od stien. V celej oblasti  $0 \leq x \leq a$  sa vyskytuje s rovnakou pravdepodobnosťou.

V *kvantovej mechanike* bude jej chovanie odlišné. Pri náraze na pravú stenu jame  $|\psi(a)|^2 \neq 0$ . Zo spojnosti  $\psi$  vypĺýva, že jej hodnota nemôže klesnúť okamžite na nulu a preto časticu presakuje aj do „zákazanej“ zóny II. Hustota pravdepodobnosti zrejme exponenciálne klesá ako v prípade schodu.

Rozdeľme  $x$ -ovú os na oblasti s konštantou hodnotou potenciálu. Oblasť  $x < 0$  je nepristupná aj pre kvantovú časticu a  $\psi_0(x) = 0$ .

V oblasti I má Schrödinger tvar

$$\frac{d^2\psi_I(x)}{dx^2} + k_1^2 \psi_I(x) = 0$$

a riešenie

$$\psi_1 = A \sin k_1 x + B \cos k_1 x$$

V oblasti II

$$\frac{d^2\psi_{II}(x)}{dx^2} + k_2^2 \psi_{II}(x) = 0$$

a její řešení

$$\psi_{II}(x) = Be^{k_2 x} + Ce^{-k_2 x}$$

kde pre vlnové vektor:  $k_1^2 = \frac{2m}{\hbar^2} E$ ,  $k_2^2 = \frac{2m}{\hbar^2} [E - U]$ .Vlnová funkcia  $\psi_{II}(x)$  musí byť normovateľná, čo možno zabezpečiť vhodným výberom konštanty  $B = 0$ , a tak odstrániť divergentný člen  $e^{k_2 x}$  pre  $x \rightarrow \infty$ .Vlastná funkcia  $\psi(x)$  spolu s deriváciou je spojité v bode  $x = a$ . V bode  $x = 0$  je spojita iba vlastná funkcia, bez svojej derivácie, pretože potenciálna energia je tu neohraničená ( $U \rightarrow \infty$ ):

$$\psi_0(0) = \psi_1(0) \Rightarrow 0 = B \Rightarrow \psi_1 = A \sin k_1 x \quad (2.73)$$

$$\psi_1(a) = \psi_{II}(a) \Rightarrow A \sin k_1 a = C e^{-k_2 a} \quad (2.74)$$

$$\left. \frac{d\psi_1}{dx} \right|_{x=a} = \left. \frac{d\psi_{II}}{dx} \right|_{x=a} \Rightarrow Ak_1 \cos k_1 a = -k_2 C e^{-k_2 a} \quad (2.75)$$

Predelme (2.74) rovnicou (2.75):

$$\frac{1}{k_1} \operatorname{tg}(k_1 a) = -\frac{1}{k_2} \quad (2.76)$$

Jedinoú neznámou v (2.76) je energia sústavy  $E$ . Rovnica sa nedá riešiť analyticky, iba numericky, resp. graficky. Napriek tomu sa pokusme získať niektoré informácie o systéme. Pravá strana (2.76) je záporná ( $k_2 > 0$ ) a argumenty tangensu musia ležať v týchto intervaloch :

$$\frac{\pi}{2} < k_1 a < \pi \quad \frac{3\pi}{2} < k_1 a < 2\pi \dots$$

Veličina  $k_1 a$  je vo všetkých prípadoch zdola ohrazená:

$$k_1 a > \frac{\pi}{2} \quad (2.77)$$

Umocníme nerovnosť (2.77) a dosadme za  $k_1$ :

$$\frac{2mE}{\hbar^2} a^2 > \frac{\pi^2}{4} \Rightarrow E > \frac{\pi^2 \hbar^2}{8ma^2} \quad (2.78)$$

Pre viazané stavy  $E < U$ :

$$Ua^2 > \frac{\pi^2 \hbar^2}{8m} \quad (2.79)$$

Na ľavej strane sú parametre jamy, na pravej univerzálna konštanta. Rovnica reprezentuje nutnú podmienku na vytvorenie viazanych stavov. Ak je jama príliš úzka, resp. príliš nízka a súčin  $Ua^2 < \frac{\pi^2 \hbar^2}{8m}$ , nevznikne ani jeden viazaný stav. S podobnými situáciami sa stretávame často. Potenciálna jama príťazlivých sôr dvoch neutrónov je príliš plynká na vytvorenie viazaneho stavu, a preto v prírode nenájdeme jadro zložené z dvoch neutrónov. Na druhej strane príťazlivé sily medzi neutrónom a protónom sú o niečo väčšie, ale už postačujú na vytvorenie práve jedného viazaného stavu, ktorý sa nazýva deuterón. Jama je však príliš plynká, aby mohol vzniknúť excitovaný stav.

### 2.3.3 Čästica v potenciálnej jame konečnej hĺbky.

Hľadajme stacionárne stavy a energetické spektrum čästice s hmotnosťou  $m$ , ktorá sa nachádza v jednorozmernej potenciálovej jame s hĺbkou  $U_0$  a šírkou  $2a$



Postup je identický ako v predchádzajúcich prípadoch, len s tým rozdielom, že pri zošívaní riadení v oboch bodoch  $x = a$ ,  $x = -a$  musíme zabezpečiť aj spojitosť prvých derivácií  $\psi(x)$  (potenciál je ohrazený). Zavedme označenie:

$$k = \sqrt{2m(E - U)/\hbar^2}, \quad (2.80)$$

Všetky pododmocinové výrazy sú kladné. SchR vo vnútri jamy  $|x| < a$  má tvar:

$$\frac{d^2\psi(x)}{dx^2} + \alpha^2 \psi = 0 \quad (2.81)$$

a mimo nej  $|x| > a$ :

$$\frac{d^2\psi(x)}{dx^2} + k^2 \psi = 0 \quad (2.82)$$

Riešenia týchto rovnic sú:

$$\psi_I = C e^{-\alpha x} + C' e^{\alpha x} \quad (2.83)$$

$$\psi_{II} = A \cos kx + B \sin kx \quad (2.84)$$

$$\psi_{III} = D e^{-\alpha x} + D' e^{\alpha x} \quad (2.85)$$

Normovateľnosť vlnovej funkcie v celom definičnom obore zabezpečíme odstránenie divergentných členov (ak  $x \rightarrow \infty$ ,  $\psi_{III}(x) \rightarrow \infty$ , pretože  $e^{\alpha x} \rightarrow \infty$ , podobne  $x \rightarrow -\infty$ ,  $\psi_I(x) \rightarrow -\infty$ , pretože  $e^{-\alpha x} \rightarrow \infty$ ) nasledovnou voľbou konštant:  $D' = 0$  a  $C' = 0$ .

Z podmienok spojitosťi vlnovej funkcie  $\psi(x)$  a jej derivácií  $\frac{d\psi(x)}{dx}$  v bodoch  $x = -a$  a  $x = a$  možno odvodiť ďalšie podmienky :

$$\psi_I(-a) = \psi_{II}(-a) \Rightarrow A \cos ka + B \sin ka = C e^{-\alpha a} \quad (2.86)$$

$$\left. \frac{\psi_I(x)}{dx} \right|_{x=a} = \left. \frac{\psi_{II}(x)}{dx} \right|_{x=a} \Rightarrow -kA \sin ka + kB \cos ka = -\alpha C e^{-\alpha a} \quad (2.87)$$

$$\psi_{II}(a) = \psi_{III}(a) \Rightarrow A \cos ka - B \sin ka = D e^{-\alpha a} \quad (2.88)$$

$$\left. \frac{\psi_{II}(x)}{dx} \right|_{x=a} = \left. \frac{\psi_{III}(x)}{dx} \right|_{x=a} \Rightarrow -kA \sin ka - kB \cos ka = -\alpha D e^{-\alpha a} \quad (2.89)$$

Vzajomným sčítaním a odčítaním rovníc dostaneme:

$$\begin{aligned} A \cos ka &= (C + D) e^{-\alpha a} & 2kA \sin ka &= \alpha(C + D) e^{-\alpha a} \\ 2B \sin ka &= (C - D) e^{-\alpha a} & 2kA \cos ka &= -\alpha(C - D) e^{-\alpha a} \end{aligned} \quad (2.90) \quad (2.91)$$

Zo symetrie úlohy vyplýva, že časťica sa s rovnakou pravdepodobnosťou vyskytuje v pravej a ľavej časti jamy, a preto hustota pravdepodobnosti  $|\psi(x)|^2$  je symetrická funkcia:

$$|\psi_I(x)|^2 = |\psi(x)_{II}|^2 \Rightarrow C^2 = D^2 \Rightarrow C = \pm D \quad (2.92)$$

Existujú teda dva typy riešení so symetrickou a antisymetrickou  $\psi(x)$ , ktoré osobitne vyšetríme:

$1, C = D$  a  $A \neq 0$  sú rovnice (2.91) splnené identicky a rovnice (2.90) možno splniť len vtedy, keď platí:

$$k \operatorname{ctg} ka = -\alpha \quad (2.93)$$

$2, C = -D$  a  $B \neq 0$  rovnice (2.90) sú splnené identicky a rovnice (2.91) možno splniť len vtedy, keď:

$$k \operatorname{ctg} ka = -\alpha \quad (2.94)$$

Ide o transcendentné rovnice, ktoré sa riešia numericky. Pre väčšiu názornosť si ukážeme grafickú metódu. Zavedieme bezrozmerné veličiny :

$$\xi = ak \quad a \quad \eta = a\alpha \quad (2.95)$$

a pretransformujme rovnice (2.93) a (2.94). Pre párne funkcie:

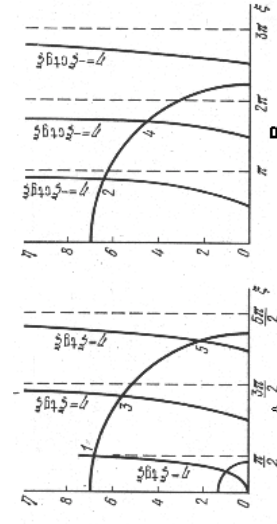
$$\eta = \xi \operatorname{tg} \xi \quad (2.96)$$

pre nepárne

$$\eta = -\xi \operatorname{ctg} \xi \quad (2.97)$$

Zo vzťahu pre  $k$  a  $\alpha$  (2.80) ďalej vyplýva:

$$\xi^2 + \eta^2 = \frac{2mU_0a^2}{\hbar^2} = R^2 \quad (2.98)$$



Na obrázkoch sú zobrazené krivky  $\eta = \xi \operatorname{tg} \xi$  ( $\eta = -\xi \operatorname{ctg} \xi$ ) v prvom kvadrante, pretože parametre  $\eta > 0$  a  $\xi > 0$ . Vertikálne čiary zobrazujú ich asymptoty. Krivku sú pretnuté kružnicami s polomerom  $R = \sqrt{\frac{2mU_0a^2}{\hbar^2}}$  určenými vlastnosťami potenciálnej bariéry  $(U_0, a)$ . Každému priesecníku  $(\eta, \xi)$  kružnice so sústavou kriviek zodpovedá riešenie SchR. Pre janu s konečnou hĺbkou existuje konečný počet priesecníkov, a teda aj viazaných stavov. Ich počet s hĺbkou narastá. Napríklad, ak je polomer kružnice  $R = 7$ , získame 5 riešení (obr.). Priesečníky 1, 3, 5 zodpovedajú párny a priesecníky 2, 4 nepárnym vlnovým funkciám. Ak však parametre bariéry spôsobia vzťah:

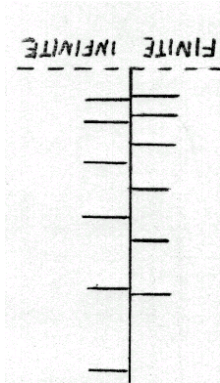
$$0 \leq U_0a^2 \leq \frac{\hbar^2\pi^2}{8m} \quad (2.99)$$

existuje iba jeden viazaný stav reprezentovaný párnou vlnovou funkciou. Na rozdiel od polonekonečnej bariéry viazaný stav vzniká vždy, dokonca aj na veľmi plytkej a krátkej jame. S rastom potenciálnej energie a hĺbky narastá polomer  $R$  a počet priesecníkov na grafe. Diskrétnym hodnotám  $\eta$  odpovedajú podľa (2.96) diskrétnne hodnoty energie  $E_n$

$$E_n = -\frac{\hbar^2}{2ma^2} \eta^2 \quad (2.100)$$

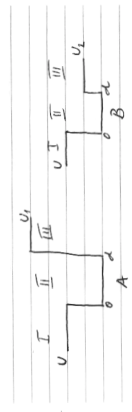
Energie viazaných stavov pre konečnú bariéru sú menšie ako pre nekonečnú. Dôvod je jednoduchý. De Broglieho vlna v konečnej jame „presakuje“ aj do zakázanej zóny ( $E < U$ ), čo spôsobuje zvýšenie jej vlnovej dĺžky v porovnaní s nekonečnou bariérou. Podľa Bohrovho vzťahu  $\lambda = \frac{\hbar}{p}$  klesá hybnosť a následne

aj energia. Pre ilustráciu porovnanáme energetické hladiny v jednotkach  $\frac{\hbar^2}{ma^2}$



### 2.3.4 Nesymetrické konečné jamy-kvalitatívne.

Majme dve jamy s rovnakou šírkou  $d$  a rôznymi potenciálnymi energiami ( $U_1$  a  $U_2$ ) v oblasti  $x > d$



Riešenie SchR v oblasti II:

$$\psi_{II} = B \cos(kx + \Delta) \quad (2.101)$$

sa spája v bodoch  $x = \pm a$  s exponentiálami nasledovného tvaru:

$$\psi_1 = A \exp(\alpha_0 x) \quad (2.102)$$

$$\psi_{III} = C \exp(-\alpha_i x) \quad (2.103)$$

kde

$$\lambda = \frac{2\pi}{k} \quad \alpha_0 = \sqrt{\frac{2m(U_0 - E)}{\hbar^2}} \quad \alpha_i = \sqrt{\frac{2m(U_i - E)}{\hbar^2}}$$

Z podmienok spojítosti dalej vypĺýva:

$$\alpha_i = k \operatorname{tg}[ka + \Delta] \quad (2.104)$$

Vypočítajme relatívne krivosti vlnových funkcií v bodoch  $x = \pm a$ :

$$\left| \frac{1}{\psi_1} \frac{d\psi_1}{dx} \right|_{x=-a} = \alpha_0 \quad (2.105)$$

$$\left| \frac{1}{\psi_{III}} \frac{d\psi_{III}}{dx} \right|_{x=a} = \alpha_i \quad (2.106)$$

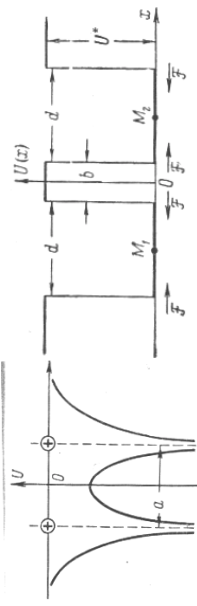
alebo asymetrické:

Mierou zakrivenia sú priamo parametre  $\alpha_0$ ,  $\alpha_i$ , pričom  $\alpha_2 < \alpha_1$ . Zväčšovaním zakrivenia ( $\alpha$ ) rastie podľa rovnice (2.104) parameter  $k = \frac{\sqrt{2mE}}{\hbar} = \frac{2\pi}{\lambda}$  a klesá de Broglieho vlnová dĺžka  $\lambda$ . Dôsledkom prudkého zakrivenia kosinusovej funkcie v jame a, zrejme platí:

$$\lambda_2 > \lambda_1 \Rightarrow E_1 > E_2$$

### 2.3.5 Dve pravouhlé potenciálne jamy

Vyšetrimo pohyb elektrónu v dvojrozmerných molekulách, napr. vo vodíku  $H_2$ . Časticu je pritiahovaná coulombovskou interakciou k obom jadram, ktoré sa nachádzajú v istej vzdialosti. Nahradme priebeh potenciálnej energie (na obr. vľavo) jednorozmerný modelom pola na obr. vpravo



Sily pôsobiace na hraniči ľavej potenciálovej jamy udržiavajú elektrón v okolí bodu  $M_1$  a sily na hraniči pravej jamy - okolo bodu  $M_2$ . Elektrón, podobne ako v reálnej situácii, bude rozmazaný v celom priestore. Predpokladajme že  $E < U$ . Riešenie SchR po vylúčení divergentných členov, má nasledovný tvar:

$$\psi = \begin{cases} Ce^{\beta x} & x \leq -(d + \frac{b}{2}) \\ De^{-\beta x} & x \leq +(d + \frac{b}{2}) \\ A \sin\left(\frac{2\pi}{\lambda}x + \varphi_1\right) & -\left(d + \frac{b}{2}\right) \leq x \leq -\frac{b}{2} \\ B \sin\left(\frac{2\pi}{\lambda}x + \varphi_2\right) & \frac{b}{2} \leq x \leq +(d + \frac{b}{2}) \\ Ge^{\beta x} + Fe^{-\beta x} & -\frac{b}{2} \leq x \leq \frac{b}{2} \end{cases} \quad (2.107)$$

kde  $\beta = \frac{2\pi}{\hbar} \sqrt{2m(U - E)}$  a  $\lambda = \frac{\sqrt{2me}}{\hbar}$

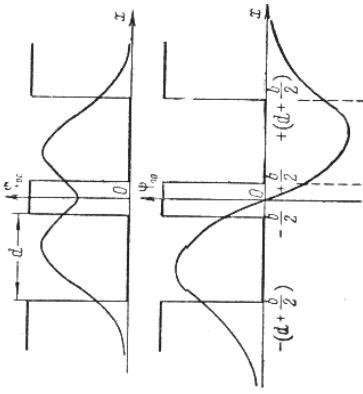
Potenciál je symetrický vzhl'adom na bod  $x = 0$ , a preto hustota pravdepodobnosti výskytu časice  $w$  sa pri zámene  $x \leftrightarrow -x$  zachováva:

$$\psi(x)\psi^*(-x) = \psi(-x)\psi^*(-x) \Rightarrow \psi(x) = \pm\psi(-x)$$

Správanie vlnovej funkcie je určené najmä jej štruktúrou v oblasti obklopujúcej začiatok. V tejto časti je riešenie SchR lineárnom kombináciou realných exponentiálov, ktoré vzhl'adom na symetriu problému musia byť buď symetrické:

$$\psi_a = F(e^{\beta x} + e^{-\beta x}) \quad (2.108)$$

Vlnové funkcie v jednotlivých jamách pre ten istý kvantový stav  $n$  môžu byť vzájomne spojené symetricky alebo nesymetricky, čo vedie k štípeniu hladín. Na obrázku je znázornený ich priebeh pre základný stav  $n = 1$ .



Veličinou energií porovnáme metódu „relativných krivostí“, s ktorou sme sa zoznámili v predchádzajúcej kapitole. Pre vnútorné hranice jám (napravo od bodu  $x = d + \frac{b}{2}$  a naľavo od bodu  $x = -\frac{b}{2}$ ) platí:

$$\left| \frac{1}{\psi} \frac{d\psi}{dx} \right|_{x=d+\frac{b}{2}} = -\beta \quad (2.109)$$

$$\left| \frac{1}{\psi} \frac{d\psi}{dx} \right|_{x=\frac{b}{2}} = -\beta \frac{1 \mp e^{i\beta b}}{1 \pm e^{-i\beta b}} \quad (2.110)$$

Horné znamienko zodpovedá symetrickej a dolné antisymetrickej vlnovej funkcií. Pre symetrické rišenie:

$$\left| \frac{1}{\psi_s} \frac{d\psi_s}{dx} \right|_{x=\frac{b}{2}} < \left| \frac{1}{\psi_s} \frac{d\psi_s}{dx} \right|_{x=d+\frac{b}{2}} = \beta \quad (2.111)$$

funkcia  $\psi_s$  vstupuje z oblasti  $x > (d + \frac{b}{2})$  do jamy ostrejšie, ako do vnútornej hranice  $x < \frac{b}{2}$ . V prípade antisymetrického rišenia je to opačne:

$$\left| \frac{1}{\psi_a} \frac{d\psi_a}{dx} \right|_{x=\frac{b}{2}} > \left| \frac{1}{\psi_a} \frac{d\psi_a}{dx} \right|_{x=d+\frac{b}{2}} = \beta \quad (2.112)$$

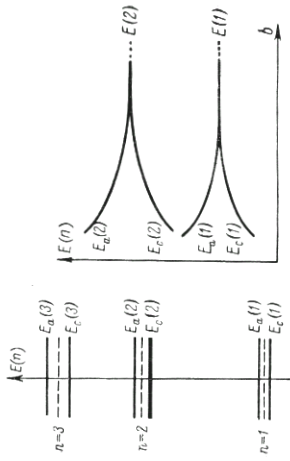
a teda:

$$\left| \frac{1}{\psi_a} \frac{d\psi_a}{dx} \right|_{x=\frac{b}{2}} > \beta > \left| \frac{1}{\psi_s} \frac{d\psi_s}{dx} \right|_{x=\frac{b}{2}} \quad (2.113)$$

S takuto situáciou sme sa stretli pri nesymetrických jامach. Podľa (\*\*\*) stredné krivosti izolovanej jamy v bode  $x = \frac{b}{2}$  sú väčšie ako pre symetrické rišenia, ale menšie ako pre antisymetrické. Rovnaké porovnanie platí aj pre kinetické energie:

$$\lambda_s > \lambda > \lambda_a \Rightarrow E_s < E < E_a \quad (2.114)$$

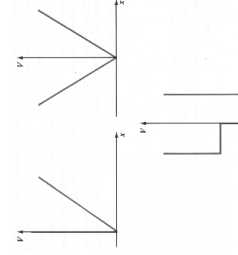
Energetická hladina izolovanej jamy  $E(n)$  sa v sústave dvoch jám štipeia na dve rôzne hladiny  $E_s < E_a$ .



V limitnom prípade, keď  $b \rightarrow 0$ , stena vymizne, vlastné funkcie a spektrá budú rovnaké ako pre jedinú jamu s dvojnásobnou šírkou. Symetrické riešenia s kvantovým číslom  $n = 1$  prechádzajú na riešenie  $n_s = 1$  a antisimetrické na  $n_a = 2$ . Porovnaním vlnových funkcií dvoch jám s vlastnými funkciami jednej jamy pozorujeme, že v zodpovedajúcich oblastiach sa navzájom veľmi podobajú. Symetrická vlnová funkcia dvojitej jamy je hladkým symetrickým spojením dvoch vlnových funkcií oddelených jám. Antisimetrická je zase antisymetrickým spojením. V prípade potenciálu zloženého s periodickým opakovania  $N$  susedných jám, sa každý stav štipe na  $N$  stavov s rôznymi energiami. Ich energetický rozostup sa zmenšuje s narastaním počtu jám. Štiepenie kvantových stavov je typické aj pre viacrozmerné jamy hubovoňného tvaru. Môžeme sa s nimi stretnúť v kryštáloch.

**2.5\*** Časticu sa nachádza v nekonenej jame so šírkou  $a$ . S akou pravdepodobnosťou nájdeme časticu v oblasti  $1/4 a \leq x \leq 3/4 a$  v kvantovom stave  $n = 4$ ? Určte jej energiu a vlnovú funkciu.

**2.6\*** Na obrázku sú znázornené tri rôzne jamy. Nájdite energiu a vlnovú funkciu základného, prvého a druhého excitovaného stavu v jednorozmernom prípade. Vlnové funkcie znázormnite a identifikujte miesta, v ktorých  $\psi = 0$ ,  $\frac{d\psi}{dx} = 0$  a  $\frac{d^2\psi}{dx^2} = 0$

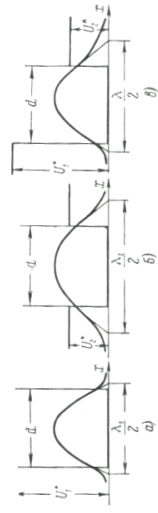


**2.7\*** Elektrón sa nachádza v jame s potenciálovou bariérou  $6,0 \text{ eV}$ . Určte šírku bariéry, ak energia základného stavu je  $0,4 \text{ eV}$ .

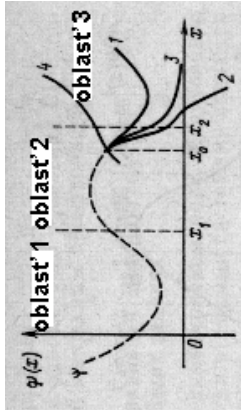
**2.8.** Vytvorte si model jadra (jeho parametre navrhnite) a odhadnite väžbowú energiu deuterómu. Porovnajte ju s experimentálnou hodnotou 2,21 MeV.

**2.9.** Určite pomer medzi hustotami pravdepodobnosti, že sa elektrón bude nachádzať na prvej a druhej energetickej hladine v intervale  $\frac{l}{4}$  rovnako vzdialeného od stien potenciálovej krabice so šírkou  $l$ .

**2.10.** Na obrázku sú znázornené symetrické a nesymetrické jamy. Kvalitatívnon analýzou najdite vzťah medzi:  $\lambda_1, \lambda_2, \lambda$ .



Rovnica (3.1) hovorí, že v každom bode  $x$  je druhá derivácia  $\frac{d^2\psi(x)}{dx^2}$  úmerná  $\psi(x)$  s koeficientom úmernosti  $U(x) - E$ . Ak  $U(x) - E \geq 0$ , rýchlosť zmeny smernice bude mať rovnaké znamienko ako  $\psi(x)$ . Znamená to, že funkcia  $\psi(x)$  bude vypuknúť k osi  $x$  a bude sa podobat na niektorí z kriviek nakreslených na obr. Krivky majú tendenciu vzdialovať sa od osi  $x$  okrem špeciálneho prípadu, kedy sa k nej asymptoticky približujú. Ak  $U(x) - E \leq 0$ , druhá derivácia  $\frac{d^2\psi(x)}{dx^2}$  bude mať opäť opäčné znamienko ako samotná funkcia  $\psi(x)$  a krivka  $\psi(x)$  sa bude zakrivovala smerom k osi  $x$ . Riešenia v tejto časti majú oscilačný charakter,  $\psi(x)$  sa neustále vracia k osi  $x$ . Pokúsme sa graficky skonštruovať riešenie (3.1) pre potenciál na obrázku



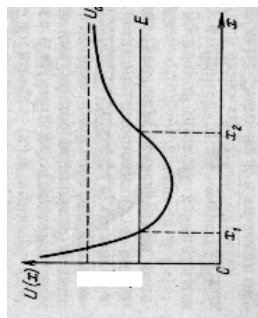
Rovnica (3.1) je lineárnu diferenciálnou rovnicou. Určením počiatocných podmienok  $(\psi(x), \frac{d\psi}{dx})$  je jednoznačne zadaný jej priebeh. Situácia je analogická s mechanikou, kde sime z Newtonovho zákona  $\left(\frac{d^2x}{dt^2} = -kx\right)$  a z počiatocných podmienok (polohy a rýchlosť) jednoznačne predikovali ďalší časový vývoj telies. Vyberieme napríklad v oblasti II bod  $x_0$  a skúmajme priebeh funkcie  $\psi$  pre rôzne počiatocné hodnoty  $\frac{d\psi}{dx}(x_0)$ . Krivka 1 ostáva zahnutá smerom nahor, pokiaľ nepretnie hranicu oblasti. V ďalšej časti sa zmení znamienko druhej derivácie  $\frac{d^2\psi(x)}{dx^2}$  ( $U(x) - E \geq 0 \mapsto U(x) - E < 0$ ) a krivka začne neobmedzeno rásť. Krivka 2 reprezentuje priebeh vlnovej funkcie pri inom výbere počiatocných podmienok. Hodnota  $\psi(x_0)$  sa zachováva ako pri krivke 1, ale hodnota  $\frac{d\psi}{dx}$  sa zmení. Priebeh vyzera na začiatku veľmi nádejne, no nakoniec po prechode do zápornej oblasti neobmedzene narastá a opäť sa naruší normovanosť vlnovej funkcie. Jediný rozdiel je v tom, že rastúcou hodnotou  $x$  nadobúda  $\psi(x)$  stále väčšie a väčšie záporné hodnoty. Krivka 3 reprezentuje fyzikálne akceptovateľný výber  $\frac{d\psi}{dx}$  v bode  $x_0$ . V oblasti III je sice ohnutá smerom nahor, ale v celom intervale ostáva nad osou  $x$  a  $\psi(\infty) \rightarrow 0$ . Ako bude vyzerať funkcia v oblastiach  $x \leq x_0$ ? Vo všeobecnosti očakávame, že jej hodnoty pre  $x \rightarrow -\infty$  neobmedzene narastajú, t.j.  $\psi(-\infty) \rightarrow \pm\infty$ . Nie je v našich silách zvrátiť tento negatívny trend výberom  $\frac{d\psi}{dx}$  v bode  $x_0$ , pretože by sme narušili správny (t.j. normovateľný) priebehu funkcie v oblasti  $x \rightarrow \infty$ . Pre danú energiu  $E$  teda neexistuje fyzikálne akceptovateľné riešenie. Zmenou celkovej energie  $E_0$  však dokážeme nájsť vhodnú vlnovú funkciu.

## Kapitola 3

### Približná metóda riešenia SchR

#### 3.1 Bohr-Sommerfeldova podmienka.

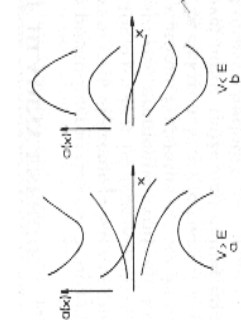
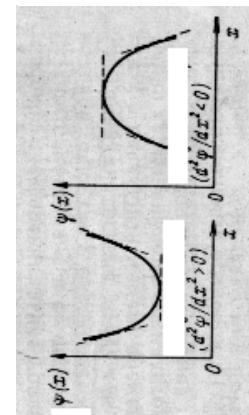
Predpokladajme, že potenciálna energia  $U(x)$  má nasledovný tvar

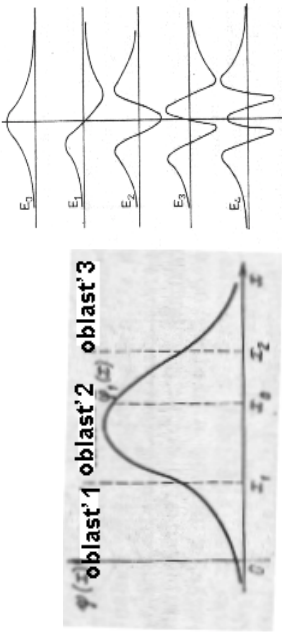


Vyšetrimme, ako sa bude správať systém, charakterizovaný vlnovou funkciou  $\psi$ , ktorá je riešením bezčasovej SchR.

$$\frac{d^2\psi(x)}{dx^2} = \frac{2m}{\hbar^2} [U(x) - E] \psi(x) \quad (3.1)$$

Z matematickej analýzy vieme, že druhá derivácia l'ubovoľnej funkcie predstavuje rýchlosť, s akou sa mení smerica dotyčnice ( $\operatorname{tg} \alpha$ ). Ak je táto zmena kladná,  $\operatorname{tg} \alpha$  rastie a funkcia sa zakrívuje od osi  $x$ , ak je zmena záporná,  $\operatorname{tg} \alpha$  klesá a funkcia sa zakrívuje opäčne.





Znamená to, že časticá môže mať len jedinú prípustnú energiu? Nie, možné sú aj iné energie, ale nie v blízkosti  $E_0$ . Aby vznikol nový viazaný stav, vlnová funkcia sa musí v oblasti jasnej „pretočiť“, pretať  $x$ -ovú os a vstúpiť do oblasti I a III s vložnou smernicou, ktorá zabezpečí jej asymptotický priebeh. Preto prene  $x$ -ovú os na viacerých miestach. Počet extrémov (resp. nulových bodov) funkcie určuje „meno“ viazaného stavu, ktorému zodpovedá rôzna energia. Vo všeobecnosti vlnová funkcia  $n$ -tého stavu obsahuje  $n$  extrémov a  $n - 1$  nulových bodov. Pretransformujme úlohu s časticou na prechod svetelnej vlny. Rozdělme celú oblasť na úseky s hrubkou  $dx$ , ktorým pridame index lomu podľa rovnice (1.28). Vo vnútorní jamy vznikajú de Broglieho stojaté vlny (podobne ako v optickom rezonátore):

$$\psi(x) = A(x) \sin \varphi(x) \quad (3.2)$$

kde  $A(x)$  je amplitúda,  $\varphi(x)$  fáza. Vlnová funkcia funkcia prechádza cez nulu, keď platí:  $\varphi(x) = n\pi$ . Každý novozmknutý uzlový bod preto zvyšuje celkovú fazu vlny  $\Delta$  medzi  $x_1$  a  $x_2$  o  $\pi$ . Pri prechode z kvantového stavu  $n$  do  $n + 1$ , počet nulových bodov vzrástie o 1 a pre  $\Delta$  znejme platí :

$$(n + 1)\pi \geq \Delta \geq n\pi \quad (3.3)$$

Zmena fázy vlny závisí od indexov lomu  $t_j$  od energie  $E$  častic a pre oblasť  $dx$  sa dá vypočítať podľa vzťahu:

$$\Delta = k dx = \sqrt{\frac{2m}{\hbar^2} [E - V]} dx \quad (3.4)$$

Podobne pre celkovú zmenu fázy na intervale  $x_1, x_2$ :

$$\Delta = \int_{x_1}^{x_2} k dx = \int_{x_1}^{x_2} \sqrt{\frac{2m}{\hbar^2} [E - V]} dx \quad (3.5)$$

Z rovnice (3.3) ďalej vyplýva:

$$\int_{x_1}^{x_2} \sqrt{\frac{2m}{\hbar^2} [E - V]} dx = n\pi + J_0 \quad (3.6)$$

resp.

$$\oint \sqrt{\frac{2m}{\hbar^2} [E - V]} dx = 2n\pi + J_0 \quad (3.7)$$

kde  $J_0$  je konštantá nezávislá od  $n$ . Určuje sa porovnávaním vypočítaných hodnôt energie s experimentom. V literatúre sa s (3.7) môžeme stretnúť v tvare

$$\oint pdx = nh + J_0 \quad (3.8)$$

kde  $p = \sqrt{2m[E - V]}$ .

Vráťme sa ešte na začiatok a skúmajme prípad  $E \geq U_0$ . Os  $x$  rozdelme na dve oblasti  $x \leq x_1$  a  $x \geq x_1$ . Vyberme bod  $x_0$  v druhej oblasti, kde  $U(x) - E \leq 0$  a preto pre  $\psi \geq 0$  sa krivka zakrívuje nahor, pre  $\psi \leq 0$  zase smerom nadol. Priebeh má osciláčny charakter a  $\psi$  sa neuštrále vracia k osi  $x$ . Funkcia je ohaničená pre hubovohný výber  $\frac{d\psi}{dx}$  v bode  $x_0$ . V oblasti I môžeme preto vždy vybrať také riešenie, pri ktorom  $\psi(-\infty) \rightarrow 0$ , pretože bez ohľadu na hodnotu  $\frac{d\psi}{dx}$  v bode  $x_0$  bude funkcia  $\psi_{II}$  ohaničená. SchR má v tomto prípade spojité spektrum energií. Ak je časticá viazaná v potenciálovej jame, jej energia nadobudajú iba určité špeciálne hodnoty z diskrétneho spektra energií, ktoré môžeme najst B-S podmienkou. Kvantovanie energie je dôsledok normovateľnosti vlnovej funkcie. Ked' energia prevyšuje vrchol potenciálovej jamy, neobhavujú sa žiadne diskrétné riešenia a prípustná je hubovohná hodnota energie.

### 3.1.1 Aplikácie B-S podmienky

Pre ilustráciu preanalyzujeme použitím B-S podmienky niektoror sústavy, s ktorými sme sa stretli v predchádzajúcich kapitolách. Pre jednoduchosť  $J_0 = 0$ .

### 3.1.2 Harmonický oscilátor

Matematický opis LHO je jednoduchý a oblasť aplikácií neobyčajne široká. Na časticu s hmotnosťou  $m$  pôsobi sila, ktorá je priamo úmerná výchylke  $x$  a má opačný smer:  $F = -kx$ . Pretože  $F = -\frac{dU}{dx}$  potenciálna energia  $U(x)$  je daná výrazom  $U = \frac{1}{2}kx^2$ . Celková mechanická energia sústavy  $E$  sa zachováva:

$$E = \frac{p^2}{2m} + \frac{1}{2}kx^2 = konšt \quad (3.9)$$

Časticá výkonáva harmonický kmitavý polyp s ulohou frekvenciou  $\omega = \sqrt{\frac{k}{m}}$ . V krajnej polohe  $x = x_0$  je kinetická energia nulová

$$E = \frac{1}{2}kx_0^2 \Rightarrow x_0 = \sqrt{\frac{2E}{k}} \quad (3.10)$$

Dosadme (3.10) do ZZÉ a vyjadrite hybnosť:

$$p = \sqrt{k(x_0^2 - x^2)} m$$

Podmienka B-S nadobudne nasledovný tvar:

$$nh = \oint pdx = \oint dx \sqrt{k(x_0^2 - x^2)} m = 2 \int_{-x_0}^{x_0} dx \sqrt{k(x_0^2 - x^2)} m \quad (3.11)$$

Zavedením substitúcie  $x = x_0 \sin \varphi$

$$nh = 2 \int_{-\pi/2}^{\pi/2} d\varphi \sqrt{mk} x_0 \cos \varphi = 2\sqrt{mk} x_0 \left(\frac{1}{2}\right) \quad (3.12)$$

Vyjadrite energiu

$$E = \sqrt{\frac{k}{m}} nh = n\hbar\omega \quad (3.13)$$

Z princípu neurčitosti sme pre najnižšiu energiu LHO odvodili vzťah  $E_{\min} = \frac{1}{2}\hbar\omega$ . Jej pripočítaním k (3.13) dosiahneme rovnaký výsledok ako exaktným riešením SchR (viď dodatok):

$$E = (n + \frac{1}{2})\hbar\omega \quad (3.14)$$

### Výberové pravidlá

Vzájomná vzdialenosť susedných energetických hladín je konštanta:  $E_{n+1} - E_n = \hbar\omega$ . Kvantový oscilátor je schopný, aspoň na prvý pohľad, absorbovať resp. emitovať ziazenie rôznych frekvencií  $\Omega$ , ktoré sú násobkami vlastnej frekvencie  $\omega$ :  $\Omega = \frac{\Delta E}{\hbar} = n\omega$ . Výberové pravidlá, presahujúce rámcem tohto kurzu, však pripustiajú len také prechody, pri ktorých  $\Delta n = \pm 1$ . K tomuto tvrdeniu sa možno dopracovať aj na základe principu korešpondencie: Klasické stavy sú charakterizované vysokým kvantovým číslom  $n \rightarrow \infty$ . Amplitúdy oscilácií závisia od frekvencie  $\Omega$  vymenújúcej sily  $F = E_0 \cos \Omega t$  a majú rezonančný charakter:

$$A = \frac{E_0}{m(\omega^2 - \Omega^2)}$$

Klasický oscilátor sa s najväčšou pravdepodobnosťou vyskytuje v krajných položkách, keď je jeho rýchlosť nulová, kvantový záse v oblastiach s maximálnym kvadrátom  $\psi$ . Zváčšovaním kvantového čísla  $n$  sa stráca rozdiel medzi oboma režimami, čo je v súlade s princípom korešpondencie. Kvantový oscilátor prenáší aj do oblasti pre klasickú fyziku nepristupných  $(-A, A)$ , pričom zase naopak existujú body neprístupné pre kvantový oscilátor ( $\psi = 0$ ).

### Porovnanie klasického a kvantového oscilátora

Pravdepodobnosť výskytu klasického oscilátora v oblasti  $x + dx$  je úmerná času  $dt$ , ktorý stráví oscilátor z celkovej perídy  $T$  v sledovanej oblasti. :

$$P(x) = \frac{dt}{T} = \frac{\frac{dx}{v}}{T} = \frac{dx}{vT} \quad (3.15)$$

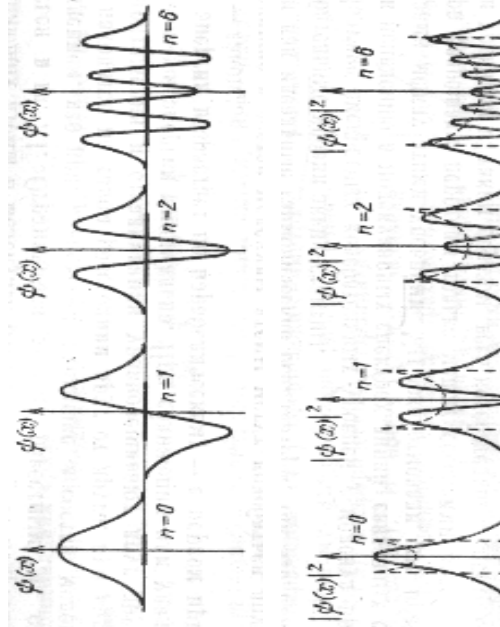
Vyjadrite rýchlosť oscilátora ako funkciu výchylky  $x$ :

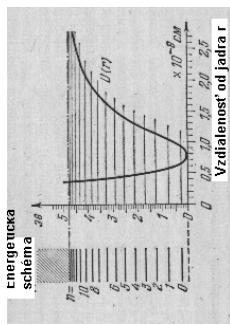
$$\begin{aligned} x &= A \cos(\omega t + \varphi) \\ v &= -A\omega \sin(\omega t + \varphi) = -A\omega \sqrt{1 - \cos^2(\omega t + \varphi)} = \end{aligned} \quad (3.16)$$

Pre hustotu pravdepodobnosti výskytu klasického oscilátora potom platí:

$$P(x) = -\frac{dx}{A\omega T \sqrt{1 - (\frac{x}{A})^2}} \quad (3.17)$$

Na obrázkoch je porovnaný priebeh vlnovej funkcie  $\psi$ ,  $|\psi|^2$  s klasickou predvedou  $P(x)$ .





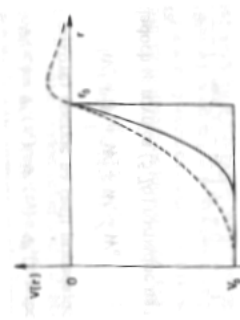
Obrázok 3.1:

### Energie dvojatémových molekúl

Teória kvantového oscilátora má vo fyzike široké uplatnenie. Uvedme aspoň niekoľko príkladov: Na obrázku je znázornená závislosť potenciálnej energie dvojatémovej molekuly vodíka od medzijadrovej vzdialenosťi  $r$ . V oblasti minima sa tvar efektívneho potenciálu približuje k parabole a preto energetické hladiny molekuly v tejto oblasti budú ekvidistantné:

#### Vrstevnicový model jadra

Existencia diskrétnych hodnôt väzbovej energie nukleónov a magických čísel dokazuje, že podobne ako v atómovom obale aj v jadre existuje sústava diskrétnych energetických hladín. Na vybraný nukleón pôsobia len sily, ktoré sú v jeho najblízšom okolí. Ak approximujeme križiku potenciálnej energie janou s tvarom paraboly, nukleón sa bude správať ako priestorový oscilátor



Dôsledkom nezávislosti jednotlivých zložiek pre jeho celkovú energiu platí:

$$E = \left( n_1 + n_2 + n_3 + \frac{3}{2} \right) \hbar\omega \quad (3.19)$$

Zavedieme hlavné kvantové číslo:

$$n = n_1 + n_2 + n_3 + 1 \quad (3.20)$$

a pre energiu dostaneme:

$$E = \left( n + \frac{1}{2} \right) \hbar\omega \quad (3.21)$$

Dané  $n$  možeme získať súčtom rôznych hodnôt  $n_1, n_2, n_3$ . Stupeň degenerácie určíme nasledovne: Nech  $n_1 + n_2 = k$  a  $n_3 = n - k - 1$ . Pri pevnom  $k$  má aj  $n_3$  stálu hodnotu. Existuje však  $k+1$  takých dvojíc  $(n_1, n_2)$ , pre ktoré  $n_1 + n_2 = k$ . Celkový počet stavov  $N$  pre dané  $n$ :

$$N = \sum (k+1) = \frac{1}{2} n(n+1) \quad (3.22)$$

So zreteľom na dve možnosti orientácie spinu sa tento počet sa zdvojnásobi:

$$N = n(n+1)$$

Pre kvantové čísla  $n = 1, 2, 3, 4, 5$  je počet stavov  $N = 2, 6, 12, 20$  a ich súčet  $2, 8, 20, 40, 70$ . Tieto čísla sa nazývajú magickými a udávajú počet nukleónov potrebných na úplné obsadenie energetických hladín s kvantovým číslom  $n$ . Jadrá s uvedenou konfiguráciou sú veľmi stabilné. S experimentálne zistenými magickými číslami súhlasia len prvé tri čísla. Pre ostatné stavby treba započítať vplyv spinovo-orbitálnej väzby medzi nukleónmi, čo je však presahuje rámec tohto kurzu.

### 3.1.3 Častica viazaná v krabiči

Častica s hmotnosťou  $m$  sa pohybuje v potenciálovej jame a je viazaná na oblasť  $0 < x < L$ . Celková energia  $E = \frac{p^2}{2m}$ . Podľa B-S podmienky

$$n\hbar = \oint pdx = 2 \int_0^L dx \sqrt{2mE} = 2L\sqrt{2mE} \quad (3.23)$$

$$E = \frac{1}{2m} \left( \frac{n\hbar}{2L} \right)^2 = \frac{\hbar^2}{2m} \left( \frac{\pi}{L} \right)^2 n^2 \quad (3.24)$$

čo je totožné s exaktným riešením SchR (1.27).

### 3.1.4 Atóm vodíka

Ak predpokladáme, že elektrón sa pohybuje po kružnici s polomerom  $r$ , potom dostredivá sila  $F_d$ , ktorá ho udržuje na orbite, je elektrostatická a pre stabilnú dráhu musí byť splnená podmienka:

$$F_d = F_e \implies \frac{mv^2}{r} = \frac{1}{4\pi\epsilon_0} \frac{e^2}{r^2} \quad (3.25)$$

Podľa odvodeného Bohrovho postulátu:

$$n\hbar = \oint pdx = p \oint dx = 2\pi rp = 2\pi rmv \quad (3.26)$$

Z posledných dvorových rovníc pre polomer  $n$ -tej dráhy vyplýva:

$$r_n = \frac{\varepsilon_0 n^2 h^2}{\pi m e^2} \quad (3.27)$$

Celková energia  $E$  elektrónu v atóme vodíka je daná súčtom kinetickej  $T = \frac{1}{2}mv^2$  a potenciálnej energie  $V = -\frac{1}{4\pi\varepsilon_0}\frac{e^2}{r}$

$$E = \frac{1}{2}mv^2 - \frac{1}{4\pi\varepsilon_0}\frac{e^2}{r} = -\frac{1}{8\pi\varepsilon_0}\frac{e^2}{r} \quad (3.28)$$

Dosadením za  $r_n$ :

$$E_n = -\frac{me^4}{8\varepsilon_0^2 h^2} \left( \frac{1}{n^2} \right) \quad (3.29)$$

Energetické hladiny atómu vodíka sú záporné, čo znamená, že elektrón nemá do-  
statok energie, aby ho opustil. Najnižšia energetická hladina  $E_1 = 2,17 \cdot 10^{-18} \text{ J} =$   
 $13,6 \text{ eV}$  zodpovedá energii odvodenej z principu neurčitosti. S podmienkou (?)  
sme sa už stretli na strednej škole v trochu inom tvare. Je totiž ekvivalentná  
tvrdenie, že stabilné dráhy sú len tie, na ktoré sa zmestí celistvý násobok de-  
Broglieho vlnovej dĺžky. Možno sa o tom presvedčiť jednoduchými úpravami :

$$\begin{aligned} n\hbar &= \oint pdx = p2\pi r = \frac{\hbar}{\lambda} 2\pi r \\ 2\pi r &= n\lambda \end{aligned} \quad (3.30)$$

Princípu korešpondencie predpokladá, že kvantová a klasická fyzika vedú k rov-  
nakým výsledkom pri limite  $\hbar \rightarrow 0$ . Overme, či je tomu tak aj v atóme vodíka:  
V klasickej fyzike sa časťica nachádza v stave s vysokým kvantovým číslom:

$$\lim_{\hbar \rightarrow 0} n = \lim_{\hbar \rightarrow 0} \sqrt{\frac{\pi m e^2 r}{\varepsilon_0 h^2}} \rightarrow \infty \quad (3.31)$$

Podľa klasickej elektromagnetickej teórie elektrón polybujúci sa po kruhovej  
dráhe, využíva elektromagnetické vlny s frekvenciou jeho obehu.

$$v_{\text{klat}} = \frac{1}{T} = \frac{v}{2\pi r} = \frac{1}{2\pi} \sqrt{\frac{e^2}{4\pi\varepsilon_0 m}} r^{-\frac{3}{2}} \quad (3.32)$$

Podľa kvantovej mechaniky pri prechode z kvantového stavu  $n$  do lubovoľného  
 $m < n$  sa emitujú fotóny s energiou  $\Delta E = E_n - E_m$ . Vzhľadom na to, že

v klasickej fyzike sa mení energia spojito, budeme v limitnom prípade vyšetrovať  
len energetické prechody, medzi susednými hladinami t.j.  $n \rightarrow n - 1$ :

$$\Delta E = E_n - E_{n-1} = -\frac{me^4}{8\varepsilon_0^2 h^2} \left( \frac{1}{n^2} - \frac{1}{(n-1)^2} \right) = \quad (3.33)$$

$$= -\frac{me^4}{8\varepsilon_0^2 h^2} \left( \frac{(n-1)^2 - n^2}{n^2(n-1)^2} \right) = \frac{me^4}{8\varepsilon_0^2 h^2} \frac{2n-1}{n^2(n-1)^2} \quad (3.34)$$

V klasickej limite  $\hbar \rightarrow 0$

$$\Delta E = \frac{me^4}{8\varepsilon_0^2 h^2} \frac{1}{n^3} = \frac{me^4}{8\varepsilon_0^2 h^2} \left( \sqrt{\frac{\varepsilon_0 h^2}{\pi m e^2 r}} \right)^3 \quad (3.35)$$

a frekvenciu

$$v_{\text{kvant}} = \frac{\Delta E}{\hbar} = \frac{me^4}{8\varepsilon_0^2 h^3} \left( \sqrt{\frac{\varepsilon_0 h^2}{\pi m e^2 r}} \right)^3 \quad (3.36)$$

Tým sme ukázali, že výsledky kvantovej mechaniky pre vysoké hodnoty  $n$  sú  
totožné s klasickou fyzikou.

**3.1.** Kvantovo-mechanické matematické kvyadlo sa nachádza v gravačnom  
poli a kmitá v jednej rovine. V mieste rovnovážnej polohy, kolmo na dráhu  
závažia je umiestnená dokonale odrážajúca stena. Určte spektrum energií toh-  
to kvyadla pre malé výklyvky. Výsledky porovnajte s klasickým matematickým  
kvyadlom.

**3.2.** Určte spektrum energií kvantovo-mechanického harmonického oscilátora  
v elektrickom poli s intenzitou  $E$ .

**3.3.** Určte energiu nulových kmitov matematického kvyadla s dĺžkou  $l = 1 \text{ m}$  a  
hmotnosťou  $m = 1 \text{ kg}$ .

z centra ich spektier. Amplitúda výslednej vlny je modulovaná faktorom v zložených záťvorkách. Pravdepodobnostné rozloženie výskytu častice v priestore charakterizuje kvadrát vlnovej funkcie

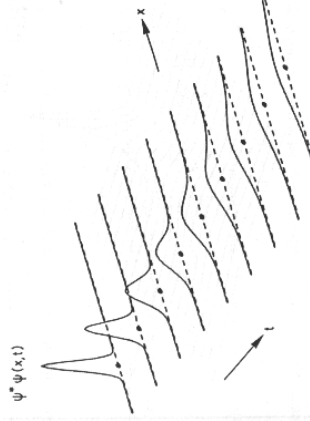
$$\Psi(x, t) \Psi^*(x, t) = \frac{1}{(2\pi)^{\frac{1}{4}} \sqrt{\sigma_p}} \left[ \frac{2\pi\sigma_p^2 m}{\sqrt{m^2 + (\hbar\sigma_p^2 t)^2}} \right] \exp \frac{-(x - \frac{p}{m}t)^2}{\left(\frac{1}{\sigma_p^2} + \frac{i\hbar t}{m}\right)} \quad (4.4)$$

Funkcia má tvar píku, pričom poloha maxima je určená exponentom  $x - \frac{p}{m}t \Rightarrow x = \frac{p}{m}$ . Vlnový balík (jeho maximum) sa pohybuje rýchlosťou klasickej častice s hybnosťou  $p$ . Jeho drámu možno stotožniť s klasickou trajektóriou. Táto analógia má však svoje ohraničenie, spojené s rozptylom vlnového balíka. Ak napríklad v čase  $t = 0$  má vlnový balík rozmer  $(\Delta x)_0$ , podľa principu neurčitosti súrka hybnostného spektra de Broglieho vln bude v intervale  $\Delta p \sim \frac{\hbar}{(\Delta x)_0}$  s rozptylom rýchlosťi jednotlivých zložiek:

$$\Delta v \sim \frac{\Delta p}{m} \sim \frac{\hbar}{m(\Delta x)_0}$$

Tieto neurčitosti v rýchlosťach vedú k zväčšovaniu rozmerov balíka, ktorý prešáva byť lokalizovaný, a už ho nemožno stotožňovať s pôvodnou časticou. Dodatočné rozplynutie bude narastať s časom:

$$(\Delta x) \sim \Delta vt = \frac{\hbar t}{m(\Delta x)_0}$$



## Kapitola 4

### Vlnový balík-prostriedok na zobrazenie trajektórie klasických častíc

#### 4.1 Volná častica

Uvažujme kvantovo-mechanickej opis volnej častice, ktorá sa pohybuje v smere osi  $x$  k potenciálovemu schodiu. V čase  $t_0$  je lokalizovaná okolo bodu  $x = x_0$  a reprezentovaná vlnovým balíkom (kapitola 2) vzniknutým superpozíciou roviných de Broglieho vín:

$$\Psi = \int_{-\infty}^{\infty} f(p) e^{-\frac{i}{\hbar}(Et-px)} dp \quad (4.1)$$

ktorých hybnosti sú gaussovsky rozmazené s neurčitosťou  $\sigma_p^2$  v okolí hodnoty  $p_0$  a ich spektrálna funkcia:

$$f(p) = \frac{1}{(2\pi)^{\frac{1}{4}} \sqrt{\sigma_p}} \exp \left[ -\frac{(p - p_0)^2}{4\sigma_p^2} \right] \quad (4.2)$$

Dosadením do (4.1) a využitím Laplaceovoho integrálu dostane časový vývoj systému :

$$\Psi(x, t) = \left\{ \frac{1}{(2\pi)^{\frac{1}{4}} \sqrt{\sigma_p}} \left[ \frac{2\pi\sigma_p^2 m}{m + i\hbar\sigma_p^2 t} \right]^{\frac{1}{2}} \exp \frac{-(x - \frac{p}{m}t)^2}{2\left(\frac{1}{\sigma_p^2} + \frac{i\hbar t}{m}\right)} \right\} e^{-\frac{i}{\hbar}(Et - px)} \quad (4.3)$$

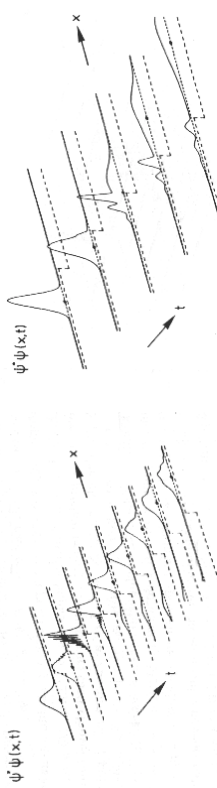
Výraz pozostáva so súčinu dvoch členov. Jeden z nich  $-\frac{i}{\hbar}(Et - px)$  reprezentuje rovinu monochromatickú de Broglieho vlnu s uhlovou frekvenciou a hybnosťou

#### Častice v silovom poli.

V kapitole 3 sme vyštvrťovali chovanie monochromatických de Broglieho vín pri rozptyle na potenciálových schodoch. Zistili sme, že vlny sa častočne odraziajú a prechádzajú z jedného prostredia do druhého, pričom koeficienty odraznosti a preipustnosti  $R$  a  $T$  závisia od ich hybnosti. Vytvorme vlnové kľbká z de Broglieho vín a znázorníme ich časový vývoj. Bodky budú reprezentovať polohu klasickej častice s rovnakou hybnosťou ako je stredná hybnosť kvantovo-mechanickej balíka. Uvažujme o niekoľkých prípadoch:

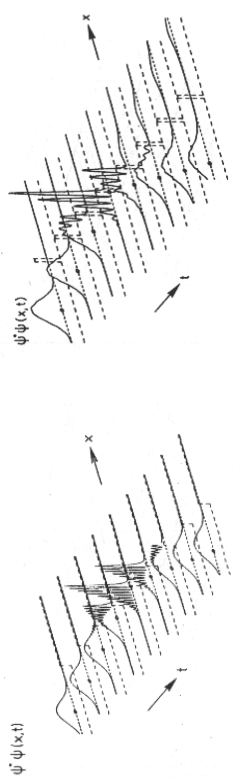
a,  $E > V$ .  
Klasická časťica sa pohybuje v prostredí I rýchlosťou  $v = \sqrt{2m(E)}$  a pri prechode do druhého prostredia sa okamžite spomali na rýchlosť  $v = \sqrt{2m(E - V)}$ .

Parciálne de Broglieho vlny tvoriace vlnový balík sa častočne odrážajú na schode s koeficientom  $R(p)$  a častočne prechádzajú s  $T(p)$ . Z odrazených a prechádzajúcich vln vznikajú nové kľuky pohybujúce sa v opačných smeroch. Zvhľadnená štruktúra v blízkosti schody je spôsobená ich interferenciou. Tvary sa deformujú podľa vzhľadovej funkcie  $T(p)$  a  $R(p)$ . Situácia pre príťažlivý potenciál  $V < 0$  je veľmi podobná so situáciou na obr. Klasická časťica je na rozhraní náhle urýchlená. Z hľadiska kvantovej mechaniky sa však musí časť vlnového balíka odraziť, pretože pre jednotlivé zložky  $R(p) \neq 0$ .



b,  $E < V$ .

V tomto prípade časť vlnového balíka preniká s exponenciálnym poklesom do oblasti II, ktorá je pre klasické časťice neprístupná. Je to len logickým dôsledkom správania sa jednotlivých zložiek vlnového balíka, ako sme sa o tom zmienovali v kapitole 2. Nakoniec sa vlnový balík úplne odrazí. Prenikanie do oblasti II je analogické s odrazom svetla od povrchu kovu.



c, Tunelovanie.

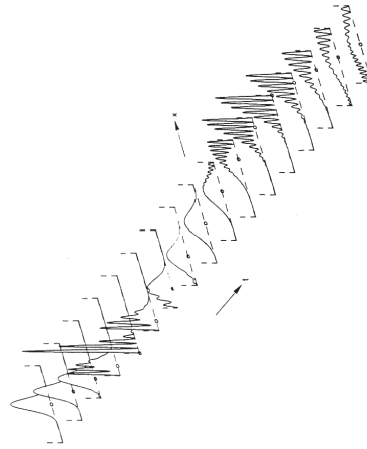
Obr.?? je znázornený súčin s hĺbkou vniku. Na vstupnej časti bariéry pozorujeme očakávaný odrazový balík, pričom na výstupnej sa tiež formuje balík postupujúci doprava. Jeho veľkosť závisí od parametrov bariéry. Výsledok potvrzuje, že časťica opísaná pôvodným Gaussovým balíkom prejde cez potenciálnu bariéru

## 4.2 Pohyb časťice v nekonečne hlbokej pravouhljej potenciálovej jame.

V kapitole sme získali stacionárne riešenia SchR. Vlnová funkcia v čase  $t$  je daná superpozíciou stacionárnych stavov vynásobených faktorom  $\exp(-\frac{iE_n}{\hbar}t)$

$$\Psi(x, t) = \sum_{n=1}^{\infty} a_n(p_0, x_0) \psi_n(x) \exp\left(-\frac{iE_n}{\hbar}t\right) \quad (4.5)$$

kde  $a_n$  - zvolíme tak, aby funkcia mala v čase  $t = 0$  tvar zvonu v okoli bodu  $x_0$  a strednú hybnosť  $p_0$ . Nasledujúci obrázok ilustruje priebeh hustoty pravdepodobnosti  $\Psi\Psi^*$  v prípade, keď v čase  $t = 0$  bol lokalizovaný okolo začiatocnej polohy klasickej časťice:



Vlnový balík naráža na stenu, od ktorej sa odraža. V mieste odrazu nastáva interferencia medzi odrazenými a dopadajúcimi zložkami de Broglieho vln tvoriacim klíčko, čo sa prejavuje zvlneniami. Na sputatočnej ceste nadobúda opäť typický zvronovitý trar. Dosledkom disperzie sa balík neustále rozširuje. Len čo je širší ako samotná jama dochádza k súčasnej interferencii na oboch koncoch jamy a preto vlnová funkcia je zvlnená. Balík sa celkom nerozplynie ani po dočasťočnom čase a rozdelenie hustoty pravdepodobnosti nebude homogénne ako v prípade klasickej časťice. Druži si charakteristickú štruktúru a stredná poloha klíčka zodpovedá polohe klasickej časťice.

Všetky energie  $E_n$  sú celočíselnými násobkami energie základného stavu  $E_1$  a preto perioda vlnová funkcia  $\Psi(x, t)$  je  $T = \frac{2\pi}{\omega_1} = \frac{2\pi\hbar}{E_1}$ :

$$\begin{aligned}
 \Psi(x, t+T) &= \sum_{n=1}^{\infty} a_n(p_0, x_0) \psi_n(x) \exp \left[ -\frac{iE_n}{\hbar}(t+T) \right] = \\
 &= \sum_{n=1}^{\infty} a_n(p_0, x_0) \psi_n(x) \exp \left[ -\frac{inE_1}{\hbar}(t + \frac{2\pi\hbar}{E_1}) \right] = \\
 &= \sum_{n=1}^{\infty} a_n(p_0, x_0) \psi_n(x) \exp \left[ -\frac{inE_1}{\hbar}t - in2\pi \right] = \\
 &= \sum_{n=1}^{\infty} a_n(p_0, x_0) \psi_n(x) \exp \left[ -\frac{inE_1}{\hbar}t \right] = \Psi(x, t)
 \end{aligned} \quad (4.6)$$

Vlnový balík sa po uplynutí času  $T$  vráti do pôvodného tvaru. Períodu  $T$  je však vo všeobecnosti oveľa dlhšia ako períoda oscilácie časice v jame  $T_c = \frac{2\pi}{v} = \frac{2\pi d}{p_0}$ .

### 4.3 Lineárny harmonický oscilátor.

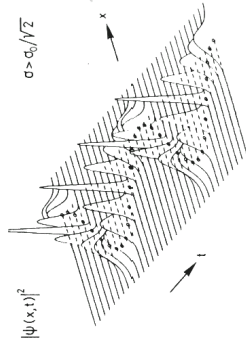
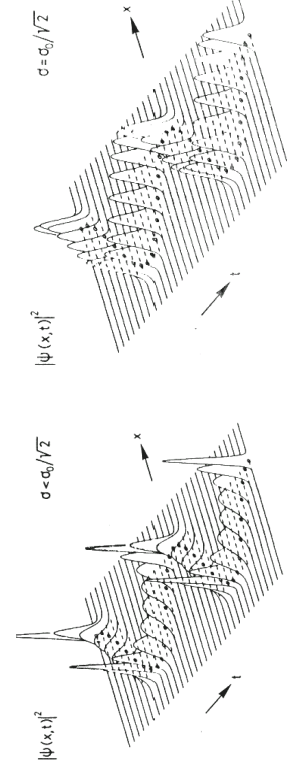
Časovo závislé riešenie Schrödingerovej rovnice pre časticu pohybujúcu sa vplyvom harmonickej sily je podobne ako v predchádzajúcej časti

$$\Psi(x, t) = \sum_{n=1}^{\infty} a_n(p_0, x_0) \psi_n(x) \exp \left[ -\frac{inE_1}{\hbar}t \right] \quad (4.7)$$

kde  $\psi_n(x)$  sú vlastné funkcie LHO, pričom  $E_n = (n + \frac{1}{2})\hbar\omega$ . Nekonečnú sumu možno sčítať. Z dôvodu stručnosti uvedieme iba výsledok pre hustotu pravdepodobnosti:

$$|\Psi(x, t)|^2 = \frac{1}{\sqrt{2\pi}} \frac{2\sigma}{\sqrt{(\sigma_0^4 s^2 + 4\sigma^4 c^2)}} \exp \left[ -\frac{2\sigma^2(x - cx_0)^2}{\sigma_0^4 s^2 + 4\sigma^4 c^2} \right] \quad (4.8)$$

kde  $c = \cos\omega t$ ,  $s = \sin\omega t$ . Funkcia  $\Psi(x, t)$  má períodu  $T = \frac{2\pi}{\omega}$  z rovnakých dôvodov ako v predchádzajúcej časti. Na obrázku je znázornený časový príbeh gaussového vlnového balíka, hustotou pravdepodobnosti  $\Psi(x, t) \Psi(x, t)^*$ . Ak



začiatocná šírka balíka je väčšia ako šírka základného stavu oscilátora  $\sigma < \frac{\sigma_0}{\sqrt{2}}$  časová závislosť jeho strednej polohy vykonáva rovnaké oscilácie ako zodpovedajúca klasická časica. Šírka osciluje s dvojnásobnou frekvenciou oscilátora a za prvého štvrtinu períodu  $\frac{T}{4}$  narastá na svoju maximálnu hodnotu. Ak je počiatocná šírka  $\sigma > \frac{\sigma_0}{\sqrt{2}}$ , rozšírovanie plku má opačnú tendenciu a za prvého štvrtinu períodu  $\frac{T}{4}$  sa zúží na svoju minimálnu hodnotu. Prípad  $\sigma = \frac{\sigma_0}{\sqrt{2}}$  predstavuje hranicu medzi oboma prípadmi, kedy sa jeho šírka počas oscilácií nemení. Správanie sa strednej hodnoty polohy je vo všetkých prípadoch identické a totožné so správaním sa klasickej časice.

**4.1.\*** Častica je viazaná v nekonečnej jame so šírkou  $L$ . V čase  $t = 0$  sa nachádza v stave, ktorý je lineárnom superpozíciu dvoch stacionárnych stavov, odpovedajúcim energiam  $E_{17} = 17^2 \frac{\pi^2 \hbar^2}{2mL^2}$  a  $E_{18} = 18^2 \frac{\pi^2 \hbar^2}{2mL^2}$ . Nájdite vlnovú funkciu  $\psi$  v čase  $t = 0$  s, za predpokladu, že váha oboch stavov je rovnaká. b, Nájdite normovanú vlnovú funkciu pre lúbovolný čas  $t$ . c, Zakreslite hustotu pravdepodobnosti v časoch  $t = 0$ ,  $t = \frac{t_0}{4}$ ,  $t = \frac{t_0}{2}$ ,  $t = t_0$ , kde  $t_0$  je períodou kmitania vlnového balíka. c, Vyšetrite polohy klasickej časice s hmotnosťou  $m$  a energiou  $E = \frac{1}{2}(E_{17} + E_{18})$  a porovnajte jej pohybu s  $t_0$ .

Z matematického hľadiska je prípustný aj prípad s kladným exponentom, ale ten vedie k nenormovateľnému vlnovým funkciám. Vypočítame derivácie  $\psi$ :

$$\begin{aligned}\psi' &= -2\gamma Ax \exp(-\gamma x^2) \\ \psi'' &= -2\gamma A(\exp(-\gamma x^2) - 2\gamma x \exp(-\gamma x^2))\end{aligned}$$

## Kapitola 5

### Dodatok

$$-2\gamma(1 - 2\gamma x^2) + \lambda - \alpha^2 x^2 = 0$$

a dosadme ich do (5.1)

### 5.1 Lineárny harmonický oscilátor - LHO.

#### 5.1.1 a, LHO cez SCHR

Hodnoty energie harmonického oscilátora získame riešením Schrödingerovej rovnice:

$$-\frac{\hbar^2}{2m} \frac{d^2\psi}{dx^2} + \frac{1}{2} kx^2 = E\psi$$

Zavedieme premenné  $\lambda = \frac{2m}{\hbar^2}E$ ,  $\alpha^2 = \frac{mk}{\hbar^2}$

$$\frac{d^2\psi}{dx^2} + (\lambda - \alpha^2 x^2)\psi = 0 \quad (5.1)$$

Rovnicu (5.1) prepíšeme v hybnostnej reprezentácii, pomocou fourierových obrázov:

$$\frac{d^2\tilde{\psi}}{dp^2} + (\lambda - \alpha^2 x^2)\tilde{\psi} = 0 \quad (5.2)$$

kde

$$\psi(x) = \mathcal{F}[\tilde{\psi}] = \int \frac{dp}{\sqrt{2\pi}} e^{ipx/\hbar} \tilde{\psi}(p)$$

Porovnaním (5.1) a (5.2) zistujeme, že  $\psi$  a  $\tilde{\psi}$  sú riešeniami tých istých rovnic a preto sa môžu od seba lísiť iba konštantou úmernosti. Vlnová funkcia  $\psi$  je svojim vlastným Fourierovým obrazom  $\tilde{\psi}$ . Pri odvodzovaní principu neutrítosti sme sa s funkciou uvedenej vlastnosti už stretli. Bola to gaussovská funkcia  $f(x) = \frac{1}{\sqrt{2\pi\sigma_x}} e^{-\frac{x^2}{2\sigma_x^2}}$ , ktorej Fourierova transformácia mala tvar  $f(p) = \frac{1}{\sqrt{2\pi\sigma_p}} e^{-\frac{p^2}{2\sigma_p^2}}$ .

Násym prvým typom na riešenie (5.1) bude  $\psi = Ae^{-\gamma x^2}$ ,  $\gamma > 0$ .

Porovnaním koeficientov pri jednotlivých mocninách:  $\lambda = 2\gamma$  a  $4\gamma^2 = \alpha^2 \Rightarrow \gamma = \frac{1}{2} \sqrt{\frac{mk}{\hbar^2}}$  určíme najnižšiu energiu oscilátora  $E = \frac{1}{2} \sqrt{\frac{k}{m}\hbar}$ , ktorá zodpovedá hodnote určenej z principu neutrítosti. Po znormovaní vlnovej funkcie  $\psi_0 = \pi^{-\frac{1}{4}} \exp(-\frac{\alpha x^2}{2})$ .

Pomocou základného stavu  $\psi_0$ , budeme hľadať aj ďalšie stavy. Stačí si uvedomiť, že derivovanú funkciu  $\psi$  sa postupne v jej Fourierovom obraze vytvára multiplikačný faktor  $ip/\hbar$

$$\psi(x) = \int \frac{dp}{\sqrt{2\pi}} e^{ipx/\hbar} \tilde{\psi}(p) \Rightarrow \psi'(x) = \int \frac{dp}{\sqrt{2\pi}} ip/\hbar e^{ipx/\hbar} \tilde{\psi}(p)$$

Ak napríklad  $f(x) \equiv \psi'_0(x) = -2\gamma x e^{-\gamma x^2}$  potom  $f(p) = 2\gamma ip/\hbar \frac{1}{\pi^{\frac{1}{4}}} \exp(-\gamma x^2)$ .

Aj v tomto prípade platí,  $f(u) \sim \mathcal{F}[f(u)]$ , preto pre vlnovú funkciu ďalšieho stavu zrejme platí:  $\psi = xAe^{-\gamma x^2}$ . Po vykonaní príslušných derivácií, dosadením do (5.1) a porovnaním koeficientov pri jednotlivých mocninách dostaneme

$$\begin{aligned}E &= \frac{3}{2}\hbar\omega \\ \psi_1 &= \frac{\sqrt{2}}{\pi^{-\frac{1}{4}}} x \exp(-\frac{\alpha}{2}x^2)\end{aligned}$$

Nanešťastie tento postup zlyháva pri hľadaní vlnových funkcií vyšších stavov.

Základná 'vlastnosť' Fourierových transformácií sa samoaje zachováva t.j. ak  $f(u) \equiv \psi'_0(u)$  potom  $\mathcal{F}[f(u)] = -u^2 \mathcal{F}[\psi_0(u)]$  ale prestáva platiť, že funkcia sa lísi od svojho Fourierového obrazu iba multiplikačným faktorom. Skutočne  $f(u) = k_1(1 - u^2)\psi'_0(u)$  nie je úmerné  $\mathcal{F}[f(u)] = -k_2 u^2 \mathcal{F}[\psi_0(u)]$ . Zdokonalme nás postup a hľadajme vlnové funkcie vo volejšom tvare, v ktorom vlnovú funkciu základného stavu vynásobíme polynomom:

$$\psi_n(x) = \left( \sum_{n=0}^N b_n x^n \right) \exp(-\alpha x^2/2) = f(x) \exp(-\alpha x^2/2)$$

1

Pre zjednodušenie ďalších výpočtov, aby nám v exponente nevystupoval súčin  $\alpha x^2$  zavedieme substitúciu  $\sqrt{\alpha}x = \xi$  a pretransformujme rovniciu (5.1) do týchto súradníc. Keďže  $f(x) \rightarrow H(\xi)$ ;  $f' = \sqrt{\alpha}H'$ ;  $f'' = \alpha H''$  potom

$$H'' - 2\xi H' + \left(\frac{\lambda}{\alpha} - 1\right) H = 0 \quad (5.4)$$

Riešenie hľadáme v tvare mocninového radu:

$$\begin{aligned} H &= \sum_{k=0}^{\infty} a_k \xi^k \\ H' &= \sum_{k=1}^{\infty} k a_k \xi^{k-1} \\ H'' &= \sum_{k=2}^{\infty} k(k-1) a_k \xi^{k-2} \end{aligned}$$

Dosadením do (5.4):

$$\sum_{k=2}^{\infty} k(k-1) a_k \xi^{k-2} - \sum_{k=1}^{\infty} 2ka_k \xi^k + \sum_{k=0}^{\infty} \left(\frac{\lambda}{\alpha} - 1\right) a_k \xi^k = 0 \quad (5.5)$$

porovnáme koeficienty u rovnakých mocnín:

$$(\nu+2)(\nu+1) a_{\nu+2} + \left(\frac{\lambda}{\alpha} - 1 - 2\nu\right) a_{\nu} = 0 \quad (5.6)$$

zistíme rekurentný vzťah pre koeficienty  $a_{\nu}$ :

$$a_{\nu+2} = \frac{2\nu+1-\frac{\lambda}{\alpha}}{(\nu+1)(\nu+2)} a_{\nu}. \quad (5.7)$$

<sup>1</sup>Pre rovnice () existuje všeobecnejši postup riešenia spočívajúci v hľadaní riešenia v okolí singulárnych bodov t.j. pre veľké  $|x| \rightarrow \infty$ , resp. pre  $\alpha|x| \gg \lambda$  V tomto prípade zrejmé platí:

$$\frac{d^2\psi(\infty)}{dx^2} - \alpha^2 x^2 \psi(\infty) = 0 \quad (5.3)$$

z čoho

$$\psi(\infty) = C_1 e^{\frac{\lambda}{2}x^2} + C_2 e^{-\frac{\lambda}{2}x^2}$$

aby bola funkcia  $\psi$  konečná aj pre  $|x| \rightarrow \infty$  a teda normovateľná potom  $C_1 = 0$  a  $\psi(\infty) = C_2 e^{-\frac{\lambda}{2}x^2}$ . Exaktné riešenie (1) sa ďalej hľadá pomocou "variácie konštanty":  $\psi = f(x) e^{-\frac{\lambda}{2}x^2}$

Riešenie SchR nemožno preto vyjadriť pomocou takého nekonečného radu. Jedna z možností ako zabezpečiť jeho konvergenciu je „odseknutie“ členov s vysokými mocninami t.j. obmedzením stupňa polynómu  $n$ . V tomto prípade bude  $a_n \neq 0$ , ale  $a_{n+2} = 0$ . Zo (5.7)  $\Rightarrow 2n+1 - \frac{\lambda}{\alpha} = 0$ ,  $\lambda = (2n+1)\alpha$ . Dosadením za  $\lambda$  a  $\alpha$ :

$$\frac{2m}{\hbar^2} E = (2n+1) \frac{2\pi m \nu_0}{\hbar} \quad (5.4)$$

$$E = E_n = \left(n + \frac{1}{2}\right) \hbar \nu$$

Pre každú energiu zodpovedá vlnová funkcia  $\psi_n = N_n \exp(-\frac{\xi^2}{2}) H_n$ , kde  $N_n$  je normovacia konštantă a  $\xi = \sqrt{\alpha}x = 2\pi \sqrt{\frac{m \nu_0}{\hbar}} x$ .

$H_n(\xi)$  je polynom  $n$ -teho stupnia v  $\xi$ , tzv. Hermítov polynom:  $H_0(\xi) = 1$ ,  $H_1(\xi) = 2\xi$ ,  $H_2(\xi) = 4\xi^2 - 2$ . Vlnová funkcia je bud' párna alebo nepárna podľa toho či  $a_0 = 0$  alebo  $a_1 = 0$ .

## 5.2 Podbariérový prechod.

Ak časťica s  $E < U_0$  prechádza cez potenciálové pole s nasledovnou štruktúrou, hovoríme o podbariérovom prechode:

$$U = \begin{cases} U = 0 & x < 0 \\ U = U_0 & 0 \leq x \leq a \\ U = 0 & x > a \end{cases} \quad (5.8)$$

Riešenie SchR rovnice v jednotlivých oblastiach nájdeme veľmi jednoducho:

$$\psi_I = A_1 \exp(ikx) + A_2 \exp(-ikx) \quad k = \frac{\sqrt{2mE}}{\hbar} \quad (5.9)$$

$$\psi_{II} = B_1 \exp(\gamma x) + B_2 \exp(-\gamma x) \quad \gamma = \frac{\sqrt{2m(U_0 - E)}}{\hbar} \quad (5.10)$$

$$\psi_{III} = C_1 \exp(ikx) + C_2 \exp(-ikx) \quad (5.11)$$

Člen  $C_2 \exp(-ikx)$  popisuje časťice postupujúce za valom doľava. Pretože častičce dopadajú zľava  $C_2 = 0$ . Zo spojitosťi vlnových funkcií a ich derivácií v bodoch  $x = 0$ ,  $x = a$  vyplýva:

$$A_1 + A_2 = B_1 + B_2 \quad (5.12)$$

$$B_1 \exp(\gamma a) + B_2 \exp(-\gamma a) = C_1 \exp(ika) \quad (5.13)$$

$$ikA_1 - ikA_2 = \gamma B_1 - \gamma B_2 \quad (5.14)$$

$$\gamma B_1 \exp(\gamma a) - \gamma B_2 \exp(-\gamma a) = ikC_1 \exp(ika) \quad (5.15)$$

Chceme určiť koeficient prieplustnosti  $T$  pre ktorý platí:

$$\begin{aligned} T &= \frac{\text{počet časťic, ktoré prešli valom}}{\text{počet časťic dopadnutých na val}} \\ T &= \frac{|C_1|^2}{|A_1|^2} \end{aligned} \quad (5.16) \quad (5.17)$$

Z rovníc vypočítané preto koeficienty  $C_1$  a  $A_1$ , pričom  $B_1$  a  $B_2$  vylíčime:

$$\begin{aligned} (5.12) + \frac{1}{\gamma} (5.14) &\Rightarrow \left(1 + \frac{ik}{\gamma}\right) A_1 + \left(1 - \frac{ik}{\gamma}\right) A_2 = 2B_1 \\ (5.12) - \frac{1}{\gamma} (5.14) &\Rightarrow \left(1 - \frac{ik}{\gamma}\right) A_1 + \left(1 + \frac{ik}{\gamma}\right) A_2 = 2B_2 \end{aligned} \quad (5.18) \quad (5.19)$$

$$\exp(-\gamma a) (5.13) + \frac{1}{\gamma} \exp(-\gamma a) (5.15) \Rightarrow$$

$$\exp(ika) \left( \exp(-\gamma a) + \frac{ik}{\gamma} \exp(-\gamma a) \right) C_1 = 2B_1 \quad (5.20)$$

$$\exp(\gamma a) (5.13) - \frac{1}{\gamma} \exp(\gamma a) (5.15) \Rightarrow$$

$$\exp(ika) \exp(\gamma a) \left( 1 - \frac{ik}{\gamma} \right) C_1 = 2B_2 \quad (5.21)$$

Porovnajme (5.18) s (5.20) a (5.19) s (5.21) :

$$\begin{aligned} \left(1 + \frac{ik}{\gamma}\right) A_1 + \left(1 - \frac{ik}{\gamma}\right) A_2 &= \exp(ika - \gamma a) \left(1 + \frac{ik}{\gamma}\right) C_1 \quad (5.22) \\ \left(1 - \frac{ik}{\gamma}\right) A_1 + \left(1 + \frac{ik}{\gamma}\right) A_2 &= \exp(ika + \gamma a) \left(1 - \frac{ik}{\gamma}\right) C_1 \quad (5.23) \end{aligned}$$

Postupným úpravami vypočítame koeficient prieplustnosti

$$\begin{aligned} T &= \frac{|C_1|^2}{|A_1|^2} = \frac{C_1 C_1^*}{A_1 A_1^*} = \\ &= \frac{16k^2 \gamma^2}{\left[ (\gamma + ik)^2 e^{-\gamma a} - (\gamma - ik)^2 e^{\gamma a} \right] \left[ (\gamma - ik)^2 e^{-\gamma a} - (\gamma + ik)^2 e^{\gamma a} \right]} = \\ &= \frac{16k^2 \gamma^2}{e^{2\gamma a} (\gamma^2 + k^2)^2 + e^{-2\gamma a} (\gamma^2 + k^2)^2 - (\gamma - ik)^4 - (\gamma + ik)^4} = \\ &= \frac{16k^2 \gamma^2}{(\gamma^2 + k^2)^2 (e^{2\gamma a} + e^{-2\gamma a}) - (\gamma^4 - 6\gamma^2 k^2 + k^4 + \gamma^4 - 6\gamma^2 k^2 + k^4)} = \\ &= \frac{16k^2 \gamma^2}{(\gamma^2 + k^2)^2 (e^{2\gamma a} + e^{-2\gamma a}) - 2(\gamma^2 + k^2)^2 + 16\gamma^2 k^2} = \\ &= \frac{16k^2 \gamma^2}{(\gamma^2 + k^2)^2 (e^{2\gamma a} - 2 + e^{-2\gamma a}) + 16\gamma^2 k^2} = \\ &= \frac{16k^2 \gamma^2}{(\gamma^2 + k^2)^2 \left[ \frac{1}{2} (e^{\gamma a} - e^{-\gamma a}) \right]^2 \cdot 4 + 16\gamma^2 k^2} = \\ &= \frac{16k^2 \gamma^2}{4 \cdot (\gamma^2 + k^2)^2 \sinh^2 \gamma a + 16\gamma^2 k^2} = \\ &= \left[ 1 + \frac{1}{4} \left( \frac{\gamma^2 + k^2}{k \gamma} \right)^2 \sinh^2 \gamma a \right]^{-1} \\ T &= \left[ 1 + \frac{1}{4} \frac{U_0^2}{E(U_0 - E)} \sinh^2 \sqrt{\frac{2m}{\hbar^2}(U_0 - E)} a \right]^{-1} \end{aligned}$$

<sup>2</sup>

<sup>2</sup>Koeficient prieplustnosti pre veľké bariéry sa dá vypočítať nasledovne:  $T = \frac{|\psi_{III}(a)|^2}{|\psi_I(0)|^2}$ . Zo spojitosťi  $\psi$  v bode  $a$  vypĺýva  $\psi_{II}(a) = \psi_{III}(a)$ . Koncentracia časťiv vo vnútri valu môže len klesať, preto vplyv prveho člena  $\psi_I$  je zanedbatelný.

$$\begin{aligned} \left(1 + \frac{ik}{\gamma}\right) (5.22) - \left(1 - \frac{ik}{\gamma}\right) (5.23) &\Rightarrow \\ \left[\left(1 + \frac{ik}{\gamma}\right)^2 - \left(1 - \frac{ik}{\gamma}\right)^2\right] A_1 &= \left[ \left(1 + \frac{ik}{\gamma}\right)^2 e^{-\gamma a} - \left(1 - \frac{ik}{\gamma}\right)^2 e^{\gamma a} \right] \left(\frac{4ik\gamma e^{-ika}}{(\gamma + ik)^2 e^{-\gamma a} - (\gamma - k)^2 e^{\gamma a}}\right) \quad (5.24) \\ C_1 &= \frac{4ik\gamma e^{-ika}}{(\gamma + ik)^2 e^{-\gamma a} - (\gamma - k)^2 e^{\gamma a}} \quad (5.26) \end{aligned}$$